

# مکان‌یابی چند دوره‌ی پایدار هاب: رویکرد برنامه‌ریزی پویا

امیر خانی (دانشجوی دکتری)

علیرضا عیدی\* (دانشیار)

دانشکده‌ی مهندسی، گروه مهندسی صنایع، دانشگاه کردستان، سنندج

مهندسی صنایع و مدیریت شریف، تابستان ۱۴۰۱  
دوره ۱، شماره ۱، ص. ۹۵-۱۱۰، (پژوهشی)

در این پژوهش، یک مدل برنامه‌ریزی ریاضی برای مسئله‌ی مکان‌یابی چند دوره‌ی پایدار هاب ارائه می‌شود که در آن، تقاضای حمل‌ونقل وابسته به زمان است و وفق برنامه‌ریزی زمان‌پیوسته است. مسئله به صورت یک مدل برنامه‌ریزی غیرخطی عدد صحیح آمیخته چندهدفه فرموله می‌شود که در آن، اهداف پایداری شامل کمینه‌سازی هزینه‌های سیستم حمل‌ونقل، کمینه‌سازی انتشار آلاینده‌ها در شبکه‌ی حمل‌ونقل و بیشینه‌سازی فرصت‌های شغلی ثابت و متغیر ایجاد شده در اثر احداث هاب‌ها در طی افق برنامه‌ریزی هستند. همچنین، تعدادی نامعادله معتبر برای بهبود فرمول‌بندی مسئله ارائه می‌شود. برای حل مسئله، از دو روش محدودیت افسیلون تکامل یافته و برنامه‌ریزی پویا استفاده می‌کنیم. نتایج حاصل از این دو روش، برای یک مسئله‌ی نمونه روی داده‌های شبکه‌ی ترکیه ارائه می‌شود. برای اعتبارسنجی روش برنامه‌ریزی پویا، مجموعه داده‌های هوایی ایالات متحده مورد استفاده قرار می‌گیرد. نتایج نشان می‌دهد که روش برنامه‌ریزی پویا می‌تواند مسائل تا ۲۵ گروه و ۶ دوره زمانی را حل کند.

**واژگان کلیدی:** مسئله‌ی مکان‌یابی هاب، پایداری، برنامه‌ریزی چند دوره‌ی، افق برنامه‌ریزی زمان‌پیوسته، برنامه‌ریزی پویا.

## ۱. مقدمه

تسهیلات هاب، نقاط انتقال، تغییر جهت و مسیر در سیستم‌های حمل‌ونقل هستند. در هر شبکه‌ی حمل‌ونقل شامل هاب، جریان (کالا، مسافر، پیام و ...) از مبدأ به مقصد از طریق هاب‌ها جابه‌جا می‌شود و معمولاً ارتباط مستقیم میان مبدأها و مقصدهای مختلف وجود ندارد. در چنین شبکه‌هایی، جریان ابتدا از مبدأ وارد یک هاب می‌شود، در هاب سازمان‌دهی شده و سپس در مقصد توزیع می‌شود. در مسئله‌ی مکان‌یابی هاب، هدف تعیین مکان هاب‌ها و نحوه تخصیص نقاط تقاضا به هاب‌هاست، به گونه‌ی که جمع‌آوری، انتقال و توزیع جریان از طریق هاب‌ها بهینه شود. آشنایی با دسته‌بندی انواع مسائل مکان‌یابی هاب، روش‌های حل و کاربردها با مراجعه به پژوهش‌های پیشین<sup>[۱]</sup> ممکن است. تعیین مکان هاب‌ها و سایر تصمیمات معمولاً با توجه به برخی پارامترها صورت می‌گیرد، مانند تقاضای حمل‌ونقل میان مبدأ - مقصدهای مختلف، هزینه‌ی ثابت احداث هاب‌ها و هزینه‌های حمل‌ونقل. در مسائل مکان‌یابی تسهیلات، چنانچه تغییرات پارامترهای مسئله طی زمان قابل پیش‌بینی باشد، برنامه‌ریزی برای تعیین مکان تسهیلات و سایر تصمیمات در آینده، مطلوب به نظر می‌رسد. در این حالت، عامل زمان نیز در مکان‌یابی وارد می‌شود.<sup>[۲]</sup> در این حالت، می‌بایست افق برنامه‌ریزی تعریف شود. افق برنامه‌ریزی یک پارچوب

\* نویسنده مسئول

تاریخ: دریافت ۱۳۹۹/۱۲/۲۴، اصلاحیه ۱۴۰۰/۸/۱۹، پذیرش ۱۴۰۰/۸/۲۲.

DOI:10.24200/J65.2021.57021.1281

a.khaleghi@eng.uok.ac.ir  
alireza.eydi@uok.ac.ir

زمانی است که تصمیم‌گیرنده در آن به برنامه‌ریزی می‌پردازد. معمولاً افق برنامه‌ریزی به چندین دوره‌ی زمانی تقسیم می‌شود و تصمیمات در طی این دوره‌ها اتخاذ می‌شوند. برای هماهنگی با تغییرات پارامترها طی افق برنامه‌ریزی، در هر دوره، پیکربندی شبکه‌ی حمل‌ونقل مربوط به دوره‌ی قبل به‌روز می‌شود و تا انتهای افق برنامه‌ریزی تکمیل می‌شود. در برخی کاربردهای واقعی مسئله‌ی مکان‌یابی هاب، تغییرات برخی پارامترها وابسته به زمان است. به عنوان مثال، در یک شبکه‌ی حمل‌ونقل هوایی، ممکن است تقاضای مسافران وابسته به زمان باشد یا در یک شبکه‌ی پستی، تقاضای حمل بسته‌های پستی وابسته به زمان باشد. این امر در مورد شبکه‌های انتقال پیام نیز می‌تواند مصداق داشته باشد. معمولاً در این حالت، باید تابعی را برآورد کرد که تغییرات آن پارامتر را در طی زمان مشخص می‌کند. در مسائلی که تغییرات پارامترها وابسته به زمان است، تعیین ظرفیت مورد نیاز تسهیلات در طی افق برنامه‌ریزی اهمیت بالایی دارد. معمولاً افزایش ظرفیت تسهیلات، هزینه‌ی کمتری نسبت به گشایش تسهیلات جدید دارد. از منظر زمان اجرای تصمیمات، معمولاً دو نوع افق برنامه‌ریزی را می‌توان تعریف کرد: افق برنامه‌ریزی زمان‌گسسته و افق برنامه‌ریزی زمان‌پیوسته. در افق برنامه‌ریزی زمان‌گسسته، در مقاطع زمانی از افق برنامه‌ریزی که از قبل تعیین شده است، تصمیمات مسئله پیاده‌سازی می‌شوند. اما در افق برنامه‌ریزی زمان‌پیوسته، زمان اجرای تصمیمات نیز در فرایند تصمیم‌گیری تعیین می‌شود. در این حالت، می‌توان بهترین زمان را برای اجرای تصمیمات مسئله با توجه به معیارهای

مورد نظر تعیین کرد. زمان‌های اجرای تصمیمات، نقاط شکست نامیده می‌شوند که مشخص‌کننده‌ی نقاط ابتدایی و انتهایی دوره‌های زمانی هستند.

در سال ۱۹۸۷ میلادی، کمیسیون جهانی محیط زیست و توسعه یا کمیسیون برنولدند، چهار شاخص برای توسعه‌ی پایدار ارائه می‌کند. این شاخص‌ها عبارت‌اند از: حفظ پایداری زیست‌محیطی در بلندمدت، تأمین نیازهای اساسی انسان، توسعه‌ی برابری میان نسلی و بین‌نسلی.<sup>[۱]</sup> مهم‌ترین جنبه‌های پایداری شامل جنبه‌های اقتصادی، زیست‌محیطی و اجتماعی هستند. با توجه به این‌که مسئله‌ی مکان‌یابی هاب دارای تصمیمات استراتژیک و سایر تصمیماتی است که جنبه‌های پایداری را تحت تأثیر قرار می‌دهد، توجه به ابعاد پایداری در این مسئله می‌تواند موجب حرکت به سمت توسعه‌ی پایدار شود. در ادامه، مطالعات انجام شده‌ی مرتبط به موضوع پژوهش حاضر، در دو حوزه‌ی «مسائل مکان‌یابی هاب چنددوره‌یی» و «مسائل مکان‌یابی هاب پایدار» را مورد مطالعه قرار می‌دهیم. در زمینه‌ی مسائل مکان‌یابی هاب چنددوره‌یی با در نظر گرفتن افق برنامه‌ریزی زمان‌پیوسته، می‌توان به مدل پیشنهادی محققان،<sup>[۵]</sup> که یک مدل تخمین پیوسته از یک ناحیه‌ی ثابت با چگالی تقاضای رو به افزایش است، اشاره کرد. طی افق برنامه‌ریزی باید تعدادی ترمینال مکان‌یابی شود؛ امکان مکان‌یابی مجدد ترمینال‌ها نیز وجود دارد. همچنین، بهترین زمان برای انجام تصمیمات مکان‌یابی و مکان‌یابی مجدد باید مشخص شود. در سایر مدل‌های موجود در این زمینه، افق برنامه‌ریزی از نوع زمان‌گسسته است. در ادامه به تعدادی از این مدل‌ها اشاره می‌کنیم. محققان یک مدل برنامه‌ریزی درجه دوم برای مسئله‌ی مکان‌یابی هاب چنددوره‌یی در حالت چندمحصولی ارائه کرده‌اند.<sup>[۶]</sup> با این هدف که مکان‌بهرینه‌ی هاب‌ها را به منظور غلبه بر نوسانات تقاضا در طی افق برنامه‌ریزی تعیین کنند. همچنین در مطالعه‌ی دیگر مکان‌یابی هاب مجازی تحت شرایط عدم قطعیت برای مدیریت خطوط هوایی در شرایط نامساعد جوی<sup>[۷]</sup> ارائه شده است. در این مدل پیشنهادی، هدف تعیین مکان‌بهرینه‌ی هاب‌های مجازی در هر دوره است، به‌گونه‌یی که مجموع هزینه‌های سیستم حمل‌ونقل در کل افق برنامه‌ریزی کمینه شود.

مسئله‌ی مکان‌یابی هاب چنددوره‌یی در حمل‌ونقل با در نظر گرفتن محدودیت بودجه برای هزینه‌های عملیاتی مورد بحث قرار گرفته است.<sup>[۸]</sup> سپس، مسئله‌ی طراحی شبکه‌ی هاب چنددوره‌یی با در نظر گرفتن ظرفیت مدولار هاب‌ها<sup>[۹]</sup> مورد مطالعه قرار گرفت. مدول‌ها تسهیلاتی هستند که می‌توانند روی هاب‌ها نصب شوند و ظرفیت آن‌ها را به صورت گسسته افزایش دهند. از جمله مثال‌های ظرفیت مدولار هاب‌ها در دنیای واقعی، می‌توان به خطوط مرتب‌سازی در مراکز پستی و هواپیماهای موجود در یک فرودگاه اشاره کرد. همچنین، خلبان‌هایی را که در خطوط هوایی فعالیت می‌کنند و رانندگانی را که در خیابان‌های مربوط به تحویل بسته‌های پستی فعالیت می‌کنند، می‌توان به عنوان ظرفیت مدولار لینک‌ها به ترتیب در حمل‌ونقل هوایی و سیستم‌های پستی در نظر گرفت.

در مدل پیشنهادی محققان،<sup>[۹]</sup> در هر دوره، امکان افزایش ظرفیت هاب‌ها به صورت گسسته از طریق مدول‌ها وجود دارد. آنان مدل را برای هر دو حالت تخصیص یگانه و چندگانه توسعه دادند. همچنین، یک مدل برنامه‌ریزی ریاضی برای مسئله‌ی مکان‌یابی هاب پوشش چنددوره‌یی با در نظر گرفتن شعاع پوشش انعطاف‌پذیر<sup>[۱۰]</sup> ارائه شد. در مدل پیشنهادی، در هر دوره می‌توان مقدار مناسب شعاع پوشش را تنظیم کرد. مسئله‌ی مکان‌یابی هاب متحرک در پژوهشی دیگر مورد مطالعه قرار گرفت،<sup>[۱۱]</sup> که در آن، امکان جابه‌جایی یک تسهیل هاب متحرک از موقعیت فعلی‌اش به سایر موقعیت‌ها از طریق تسهیلات حمل‌ونقل ریلی در دوره‌های مختلف وجود دارد. همچنین مسئله‌ی توسعه‌ی شبکه‌ی حمل بار چند مدی با در نظر گرفتن

اختلال در ترمینال‌ها و مسیرها بررسی<sup>[۱۲]</sup> و مدلی پیشنهاد شد که در آن دو نوع دوره‌ی زمانی تعریف شده است: دوره‌های استراتژیک و دوره‌های مسیریابی. در دوره‌های استراتژیک، تصمیمات بازگشایی ترمینال‌ها، افزایش ظرفیت ترمینال‌ها و بازایی ترمینال‌ها و مسیرهای مختل شده گرفته می‌شود و در دوره‌های مسیریابی، جریان‌ها در شبکه مسیریابی می‌شوند. در مطالعه‌ی دیگر،<sup>[۱۳]</sup> مسئله‌ی مکان‌یابی هاب چنددوره‌یی با در نظر گرفتن ظرفیت مدولار هاب‌ها تحت عدم قطعیت تقاضای احتمالی مورد بررسی قرار گرفت. تصمیمات در پژوهش آنان، شامل تعیین ظرفیت اولیه هاب‌ها، افزایش ظرفیت و مسیریابی جریان‌هاست. محققان یک مدل مطمئن برای مسئله‌ی مکان‌یابی هاب سلسله‌مراتبی چندمدی با در نظر گرفتن اختلال پویا (وابسته به زمان و مکان)<sup>[۱۴]</sup> پیشنهاد کردند که در آن، اختلال در یک دوره، تصمیمات دوره‌های بعدی را تحت تأثیر قرار می‌دهد و ممکن است نیاز به فعالیت‌هایی مانند نگهداری، بستن موقت، راه‌اندازی و بازگشایی مجدد باشد. یک مسئله‌ی هاب پوشش در حالت تخصیص یگانه با دو هدف بیشینه‌سازی تقاضای پوشش داده شده و کمینه‌سازی هزینه‌های بازگشایی و بستن هاب‌ها در طی افق برنامه‌ریزی با در نظر گرفتن تغییرات دوره‌یی پارامترهای مسئله ارائه شد.<sup>[۱۵]</sup> مسئله‌ی مکان‌یابی هاب چنددوره‌یی هاب با تخصیص یگانه و با در نظر گرفتن طول عمر و امکان بازسازی هاب‌ها<sup>[۱۶]</sup> مورد مطالعه قرار گرفت. نویسندگان این موضوع را در نظر گرفتند که هر یک از هاب‌ها، پس از انتخاب پیمانکار برای بازگشایی آن‌ها، دارای عمر مشخصی هستند که در انتهای این عمر می‌توانند بازسازی یا بسته شوند. همچنین، محققان سطوح ظرفیت و امکان بازسازی چندگانه را نیز در مدل‌سازی مسئله وارد کردند. محققان یک مسئله‌ی دودفعی مکان‌یابی هاب چنددوره‌یی مطمئن را با در نظر گرفتن تأثیرات ازدحام جریان مورد بررسی قرار دادند.<sup>[۱۷]</sup> هدف اول مسئله شامل کمینه‌سازی هزینه‌های حمل‌ونقل، باز و بسته کردن هاب‌ها و جریمه تجاوز جریان از ظرفیت مؤثر هاب‌ها منهای عایدی حاصل از تسهیلات موجود در هاب‌های بسته شده و هدف دوم بیشینه‌سازی کم‌ترین قابلیت اطمینان در مسیرهای موجود در شبکه است. در زمینه‌ی مسائل مکان‌یابی هاب پایدار، محققان مسئله‌ی مکان‌یابی هاب پوشش را با اهداف کمینه‌سازی هزینه‌های حمل‌ونقل و احداث هاب‌ها و کمینه‌سازی زمان انتظار در هاب‌ها مورد مطالعه قرار دادند.<sup>[۱۸]</sup> برای حل مسئله، نویسندگان از یک الگوریتم رقابت استعماری چندهدفه استفاده کردند. محققان در مطالعه‌ی دیگر،<sup>[۱۹]</sup> مسئله‌ی مکان‌یابی هاب پوشش چنددوره‌یی را با اهداف کمینه‌سازی مجموع هزینه‌های سیستم حمل‌ونقل و کمینه‌سازی کل زمان سفر مورد بررسی قرار دادند. مسئله‌ی مکان‌یابی هاب - مسیریابی سبز با در نظر گرفتن اهداف کمینه‌سازی هزینه‌های حمل‌ونقل، احداث هاب‌ها، توزیع، جمع‌آوری و استفاده از تسهیلات و کمینه‌سازی کل زمان سفر ارائه شد.<sup>[۲۰]</sup> همچنین، یک مسئله‌ی هاب پوشش چندمدی با اهداف کمینه‌سازی هزینه‌های سیستم و کمینه‌سازی بیشینه زمان سفر به عنوان یک هدف اجتماعی مورد بررسی قرار گرفت.<sup>[۲۱]</sup> پس از آن، محققان مسئله‌ی مکان‌یابی هاب پوشش چندمدی و چندمحصولی را با در نظر گرفتن دو هدف کمینه‌سازی هزینه‌های حمل‌ونقل و احداث هاب‌ها و استفاده از مدهای حمل و کمینه‌سازی بیشینه زمان سفر در شبکه ارائه کردند.<sup>[۲۲]</sup> در مطالعه‌ی دیگر،<sup>[۲۳]</sup> مسئله‌ی مکان‌یابی هاب پایدار تحت عدم قطعیت آمیخته (فازی و احتمالی) پیشنهاد شد. در پژوهش آنان، هدف اقتصادی کمینه‌سازی هزینه‌های سیستم در کنار دو هدف زیست‌محیطی کمینه‌سازی هزینه‌های انتشار آلاینده‌ها و کمینه‌سازی آلودگی صوتی در هاب‌ها مورد توجه قرار گرفت. مسئله‌ی طراحی شبکه‌ی چندمدی تحت عدم قطعیت<sup>[۲۴]</sup> نیز با در نظر گرفتن اهداف پایداری شامل کمینه‌سازی زمان سفر تجمعی در شبکه، کمینه‌سازی هزینه‌های حمل‌ونقل، انتشار آلاینده‌ها و مصرف سوخت و بیشینه‌سازی پایایی خدمت

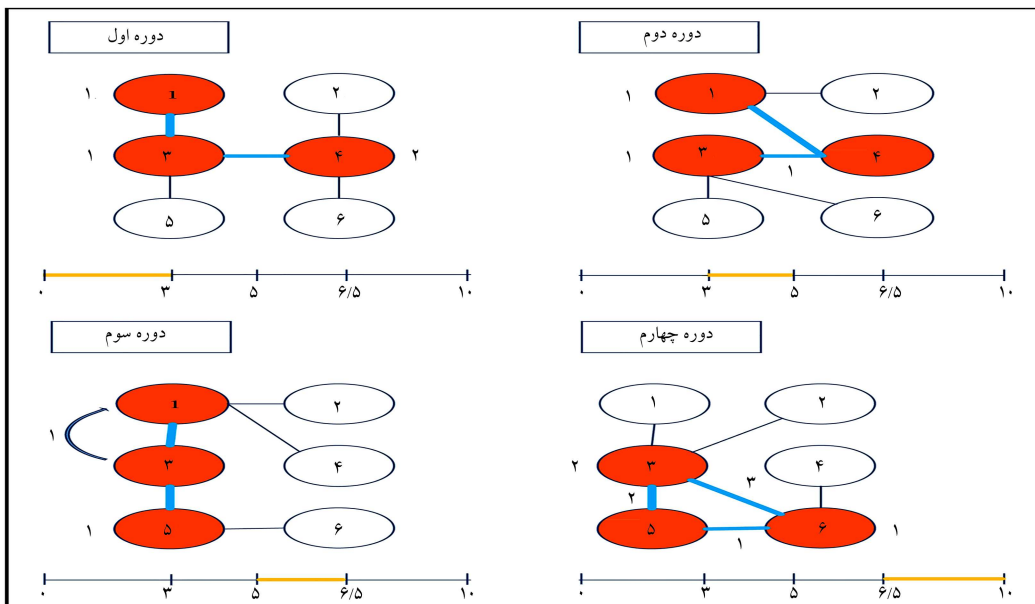
جدول ۱. مرتبطترین مقالات با موضوع پژوهش حاضر.

مرجع	ظرفیت هاب مدولار	ظرفیت کمان مدولار	چنددوره‌یی		تقاضای وابسته به زمان	چندهدفه	پایدار	رویکرد حل
			زمان گسسته	زمان پیوسته				
[۵]	-	-	-	✓	✓	-	-	روش ابتکاری
[۲۳]	-	-	-	-	-	✓	✓	روش دوفاز - رقابت استعماری و شبیه‌سازی تبرید
[۸]	-	-	✓	-	-	-	-	تجزیه بندرز - جست‌وجوی همسایگی
[۲۴]	-	-	-	-	-	✓	✓	برنامه‌ریزی خطی فازی بازه‌یی - بهینه‌سازی علف هرز مهاجم
[۹]	✓	-	✓	-	-	-	-	برنامه‌ریزی عدد صحیح آمیخته
[۱۰]	-	-	✓	-	-	-	-	الگوریتم ژنتیک
[۲۵]	-	-	-	-	-	✓	✓	دیفرانسیل تکاملی - رقابت استعماری
[۲۶]	-	-	-	-	-	✓	✓	الگوریتم تکاملی
[۱۲]	-	-	✓	-	-	-	-	الگوریتم هیبریدی شبیه‌سازی تبرید
[۱۳]	✓	-	✓	-	-	-	-	برنامه‌ریزی عدد صحیح آمیخته
[۱۴]	-	-	✓	-	-	-	-	الگوریتم ابتکاری دومرحله‌یی
پژوهش حاضر	✓	✓	-	✓	✓	✓	✓	روش محدودیت پس‌یلون تکامل یافته و برنامه‌ریزی پویا

است. بنابراین، نوآوری مقاله‌ی حاضر در یک پارچه‌سازی مفاهیم پایداری در مسئله‌ی مکان‌یابی هاب چنددوره‌یی زمان‌پیوسته و امکان مدیریت ظرفیت تسهیلات در طی افق برنامه‌ریزی از طریق افزایش ظرفیت هاب‌ها و کمان‌های هاب و انتقال ظرفیت میان هاب‌ها است.

بر اساس مطالعات انجام شده و شکاف‌های تحقیقاتی موجود، در این پژوهش، ما یک مدل ریاضی برای مسئله‌ی مکان‌یابی هاب چنددوره‌یی زمان‌پیوسته ارائه می‌کنیم که در آن، تقاضای حمل‌ونقل وابسته به زمان است و در طی افق برنامه‌ریزی، امکان افزایش ظرفیت تسهیلات و انتقال ظرفیت میان تسهیلات از طریق مدول‌ها وجود دارد. در ادامه‌ی این نوشتار در بخش دوم، به تشریح مسئله‌ی تحقیق می‌پردازیم و در بخش سوم، نحوه‌ی مدل‌سازی ریاضی مسئله را توضیح می‌دهیم و تعدادی نامعادله‌ی معتبر برای بهبود فرمول‌بندی مسئله ارائه می‌کنیم. سپس، در بخش چهارم دو رویکرد برای حل مسئله‌ی تحقیق ارائه می‌دهیم. در بخش پنجم، نتایج حاصل از حل یک مسئله‌ی نمونه روی مجموعه داده‌ی شبکه‌ی ترکیه ارائه می‌شود و با استفاده از مجموعه داده‌ی هوایی ایالات متحده، نتایج حاصل از رویکرد دوم ارائه می‌شود. همچنین، عملکرد نامعادلات معتبر نیز بررسی می‌شود. نهایتاً، نتیجه‌گیری و پیشنهادهای آتی در بخش ششم ارائه می‌شود.

مطالعه شد. محققان طراحی اقتصادی و زیست‌محیطی شبکه‌ی هاب چندمدی را مورد بررسی قرار دادند. [۲۵] همچنین، کمیته‌سازی بیشترین زمان سفر در شبکه، پیشینه‌سازی اشتغال و توسعه‌ی منطقه‌یی و کمیته‌سازی هزینه‌های سیستم به‌عنوان اهداف پایداری در نظر گرفته شد. [۲۶] در مطالعه‌ی مسئله‌ی مکان‌یابی هاب سبز [۲۷] هدف مسئله‌ی کمیته‌سازی هزینه‌های انتشار آلاینده‌ها (وابسته به سرعت وسایل نقلیه و میزان جریان حمل شده توسط وسایل نقلیه روی شبکه) به‌گونه‌یی است که تحویل جریان‌ها از هر مبدأ به مقصد باید در یک حد زمانی از پیش تعیین شده انجام شود. در جدول ۱، مرتبط‌ترین مقالات با پژوهش حاضر ثبت شده و نیز جایگاه پژوهش حاضر در میان این پژوهش‌ها مشخص شده است. با توجه به تحقیقات انجام شده، مسائل مکان‌یابی هاب پایدار و مسائل مکان‌یابی هاب چنددوره‌یی به‌طور جداگانه مورد مطالعه قرار گرفته‌اند و در زمینه‌ی مسائل مکان‌یابی هاب چنددوره‌یی، افق برنامه‌ریزی به‌صورت زمان‌پیوسته در نظر گرفته شده است، [۵] اما جنبه‌های پایداری در آن در نظر گرفته نشده و مدیریت ظرفیت تسهیلات در طی افق برنامه‌ریزی لحاظ نشده است. در سایر مدل‌های ارائه شده، افق برنامه‌ریزی از نوع زمان‌گسسته در نظر گرفته شده است. مدل‌های با ظرفیت مدولار هاب، با در نظر گرفتن افق برنامه‌ریزی زمان‌گسسته توسعه داده شده‌اند و ظرفیت مدولار لینک‌ها به‌صورت پویا بررسی نشده

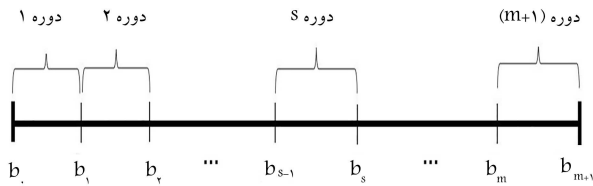


شکل ۱. نمایش یک جواب موجه.

## ۲. بیان مسئله

لینک‌های اضافی برای افزایش ظرفیت آن کمان استفاده کرد. پارامترهای مربوط به آلودگی‌های زیست‌محیطی و فرصت‌های شغلی ثابت و متغیر، در دسترس هستند. ما به دنبال تصمیمی در مورد گشایش و بستن هاب‌ها و کمان‌های هاب و تخصیص نقاط غیرهاب به هاب‌ها، افزایش ظرفیت هاب‌ها و کمان‌های هاب و انتقال ظرفیت میان هاب‌ها، مسیریابی جریان‌ها در شبکه در دوره‌های مختلف و همچنین، زمان پیاده‌سازی تصمیمات در کل افق برنامه‌ریزی هستیم، به گونه‌ای که سه هدف مربوط به پایداری، یعنی کمینه‌سازی هزینه‌های حمل‌ونقل، هزینه‌های بازگشایی هاب‌ها و کمان‌های هاب و هزینه‌های افزایش و انتقال ظرفیت، کمینه‌سازی هزینه‌های آلودگی هوا توسط وسایل نقلیه و بیشینه‌سازی فرصت‌های شغلی ثابت و متغیر ایجاد شده در اثر گشایش هاب‌ها در کل افق برنامه‌ریزی، به طور هم‌زمان برآورده شوند. در شکل ۱، یک جواب موجه برای یک نمودار از مسئله نمایش داده شده است. مجموعه نقاط تقاضا به صورت  $N = \{1, 2, 3, 4, 5, 6\}$  و مجموعه نقاط کاندید برای احداث هاب‌ها به صورت  $H = \{1, 3, 4, 5, 6\}$  است. در هر دوره باید  $P = 3$  هاب مکان‌یابی شود. طول افق برنامه‌ریزی برابر با  $T = 10$  است. برای هر هاب،  $Q_k = 3$  و حداکثر ۳ لینک اضافی را می‌توان در کنار هر کمان هاب بازگشایی کرد. با توجه به شکل ۱، در دوره‌ی اول، هاب‌های ۱، ۳، ۴ و کمان‌های هاب (۱، ۳) و (۳، ۴) بازگشایی شده‌اند. بر روی هاب ۱، ۳، یک مدول و بر روی هاب ۴، دو مدول نصب شده است که ظرفیت این هاب‌ها را در دوره اول مشخص می‌کنند. گره‌های غیرهاب ۲ و ۶ به هاب ۴ و گره غیرهاب ۵ به هاب ۳ تخصیص می‌یابد. این تصمیمات در ابتدای افق برنامه‌ریزی پیاده‌سازی شده است و پیکربندی شبکه تا زمان  $b_1 = 3$  بدون تغییر باقی می‌ماند. تصمیمات مربوط به دوره دوم، در زمان  $b_1 = 3$  پیاده‌سازی می‌شود. این تصمیمات شامل بازگشایی هاب‌های ۱، ۳، ۴ و کمان‌های هاب (۱، ۴) و (۳، ۴) و نصب ۱ مدول بر روی هاب‌های ۱ و ۳ و نصب ۱ لینک اضافی بر روی کمان هاب (۳، ۴) است. گره‌های غیرهاب ۵ و ۶ به هاب ۳ و گره غیرهاب ۲ نیز به هاب ۱ تخصیص می‌یابد. پیکربندی شبکه تا زمان  $b_2 = 5$  ثابت است. با آغاز دوره سوم در زمان  $b_2 = 5$ ، هاب‌های ۱، ۳، ۴ و کمان‌های هاب (۱، ۳) و (۳، ۵) بازگشایی می‌شوند و یک مدول بر روی هاب ۵ نصب می‌شود. همچنین، یک مدول از هاب ۳ به هاب ۱ منتقل می‌شود. هاب ۴ بسته می‌شود و

مجموعه‌ی نقاط تقاضا به صورت  $N = \{1, 2, \dots, n\}$  داده شده است. ماتریس  $(c_{ij})_{n \times n}$ ، هزینه یا فاصله‌ی میان هر دو نقطه تقاضا را نشان می‌دهد. یک افق برنامه‌ریزی زمان‌پیوسته به طول  $T$  وجود دارد که در طی آن،  $m$  بار می‌توان تصمیمات مسئله را تغییر داد. این افق برنامه‌ریزی به  $m + 1$  دوره‌ی زمانی تقسیم می‌شود. مجموعه‌ی این دوره‌ها به صورت  $S = \{0, 1, 2, \dots, m + 1\}$  است. دوره‌ی ۰ نشان‌دهنده‌ی ابتدای افق برنامه‌ریزی است. جریان میان نقاط تقاضا، وابسته به زمان است و با یک تابع پیوسته خطی به صورت  $w_{ij}(t) = a_{ij} + h_{ij}t$ ،  $0 \leq t \leq T$  نمایش داده می‌شود. این تابع، اقتباسی است از یکی از توابع معرفی شده <sup>[۲۸]</sup> که در آن،  $a \geq 0$  مقدار اولیه‌ی جریان در ابتدای افق برنامه‌ریزی و  $h_{ij} \geq \frac{-a_{ij}}{T}$  میزان افزایش جریان نسبت به زمان است. همچنین، مجموعه نقاط کاندید برای گشایش هاب‌ها به صورت  $H \subseteq N$  داده شده است. طی افق برنامه‌ریزی، هاب‌ها و کمان‌های هاب جدید را می‌توان بازگشایی کرد؛ هاب‌ها و کمان‌های هاب موجود را نیز می‌توان بست. چنانچه یک هاب بسته شود، در دوره‌های آتی نمی‌تواند فعالیت کند. در هر دوره نیز، باید در مجموع  $P$  هاب بازگشایی شوند. تخصیص از نوع یگانه است. ضریب تخفیف  $\alpha$  را برای جریان‌های روی هر کمان هاب در طی افق برنامه‌ریزی تعریف می‌کنیم. هزینه‌های مربوط به بازگشایی و بستن هاب‌ها، به ترتیب به صورت ماتریس‌های  $(OC_k)_{|H| \times |H|}$  و  $(CC_k)_{|H| \times |H|}$  و هزینه‌های مربوط به بازگشایی و بستن کمان‌های هاب به ترتیب به صورت ماتریس‌های  $(OC_{ki})_{N \times N}$  و  $(CC_{ki})_{N \times N}$  تعریف می‌شود. بودجه‌ی در دسترس در کل افق برنامه‌ریزی برای بازگشایی و بستن هاب‌ها و کمان‌های هاب، محدود است و با پارامتر  $B$  نمایش داده می‌شود. طی افق برنامه‌ریزی، می‌توان ظرفیت هاب‌ها و کمان‌های هاب را از طریق مدول‌های دارای ظرفیت مشخص افزایش داد و همچنین، می‌توان میان هاب‌ها انتقال ظرفیت انجام داد. در هر دوره، مجموع تعداد مدول‌هایی که تا آن دوره بر روی یک هاب نصب می‌شود و از سایر هاب‌ها به آن هاب منتقل می‌شود، ظرفیت آن هاب را مشخص می‌کند. انتقال ظرفیت از دوره دوم به بعد می‌تواند انجام گیرد. هر کمان هاب نیز دارای یک ظرفیت اولیه است و در هر دوره، در صورت نیاز می‌توان از



شکل ۲. افق برنامه‌ریزی زمان پیوسته.

نقلیه و چگالی هوا وابسته است:

$FJO_k$ : تعداد فرصت‌های شغلی ثابت ایجاد شده در اثر گشایش هاب  $k \in H$ ؛  
 $VJO_k$ : تعداد فرصت‌های شغلی متغیر ایجاد شده در اثر پردازش هر واحد جریان در هاب  $k \in H$ .

• متغیرهای تصمیم

$Z_{iks}$ : اگر گره  $i \in N$  به هاب  $k \in H$  در دوره  $s \in S$  تخصیص یابد، مقدار ۱ می‌گیرد. در غیر این صورت، مقدار صفر می‌گیرد. اگر  $z_{iks} = 1$  آن‌گاه گره  $k \in H$  در دوره  $s \in S$  به‌عنوان هاب انتخاب شده است؛  
 $u_{kqs}$ : اگر هاب  $k \in H$  در دوره  $s \in S$  تعداد  $q$  مدول دریافت کند، مقدار ۱ می‌گیرد. در غیر این صورت، مقدار صفر می‌گیرد ( $q = 1, \dots, Q_k$ )؛  
 $trc_{qkls}$ : اگر تعداد  $q$  مدول از هاب  $k \in H$  به هاب  $l \in H$  در دوره  $s \in S$  انتقال یابد، مقدار ۱ می‌گیرد. در غیر این صورت، مقدار صفر می‌گیرد ( $q = 1, \dots, Q_k$ )؛  
 $e_{kls}$ : اگر کمان هاب  $(k, l) \in H$  که  $k, l \in H$  در دوره  $s \in S$  باز شود، مقدار ۱ می‌گیرد. در غیر این صورت، مقدار صفر می‌گیرد؛  
 $ec_{kls}$ : اگر کمان هاب  $(k, l) \in H$  که  $k, l \in H$  در دوره  $s \in S$  بسته شود، مقدار ۱ می‌گیرد. در غیر این صورت، مقدار صفر می‌گیرد؛  
 $ea_{q'kls}$ : اگر کمان هاب  $(k, l) \in H$  که  $k, l \in H$  در دوره  $s \in S$  تعداد  $q'$  کمان اضافی دریافت کند، مقدار ۱ می‌گیرد. در غیر این صورت، مقدار صفر می‌گیرد ( $q' = 1, \dots, Q'_{kl}$ )؛  
 $z_{c_{ks}}$ : اگر هاب  $k \in H$  در دوره  $s \in S$  بسته شود، مقدار ۱ می‌گیرد. در غیر این صورت، مقدار صفر می‌گیرد؛  
 $Y_{kls}$ : مقدار جریانی که از گره  $i \in N$  آغاز می‌شود و از هاب‌های  $k \in H$  و  $l \in H$  در دوره  $s \in S$  عبور می‌کند؛  
 $b_s$ : نقاط شکست ( $b_s \in [0, T]$ ).

۲.۳. مدل ریاضی

۱.۲.۳. مدل‌سازی ریاضی افق برنامه‌ریزی

برای مدل‌سازی افق برنامه‌ریزی، از رویکرد مورد استفاده در مطالعات محققان [۲۹، ۲۸] استفاده می‌کنیم. زمان پیاده‌سازی تصمیم  $s$  را با  $b_s$  نمایش می‌دهیم ( $\forall s \in S, s \neq 0$ ) در نظر بگیریم  $b_0 = 0$  و  $b_{m+1} = T$  و  $b_{s-1} < b_s, \forall s \in S$ . اولین تصمیم در زمان  $b_0 = 0$  اتخاذ می‌شود و انتهای افق برنامه‌ریزی با  $b_{m+1} = T$  مشخص می‌شود.  $b_1, b_2, \dots, b_m$  را نقاط شکست می‌نامیم. در این صورت، دوره زمانی  $s$  به صورت  $[b_{s-1}, b_s]$  مشخص می‌شود ( $\forall s \in S \setminus \{0\}$ ). نمایش گرافیکی افق برنامه‌ریزی زمان پیوسته در شکل ۲ آمده است.

۲.۲.۳. محاسبه‌ی جریان میان دو گره در هر دوره

با توجه به این‌که تقاضا وابسته به زمان است و افق برنامه‌ریزی زمان پیوسته است، جریان میان نقاط تقاضای  $i \in N$  و  $j \in N$  در دوره زمانی  $\{s \in S \setminus \{0\}\}$  با

گره‌های غیرهاب ۲ و ۴ به هاب ۱ اختصاص می‌یابد و گره غیرهاب ۶ به هاب ۵ تخصیص می‌یابد. با شروع دوره چهارم در زمان  $b_2 = 6/5$ ، هاب‌های ۳، ۵ و ۶ بازگشایی می‌شوند و کمان‌های هاب (۳، ۵) و (۳، ۶) و (۵، ۶) احداث می‌شوند و روی این کمان‌ها، به ترتیب دو، سه و یک مدول اضافی نصب می‌شود. هاب ۳، دو مدول و هاب ۶ یک مدول دریافت می‌کند و گره‌های غیرهاب ۱ و ۲ به هاب ۳ و گره غیرهاب ۴ به هاب ۶ تخصیص می‌یابد. تصمیماتی که در دوره‌ی چهارم پیاده‌سازی می‌شود، تا انتهای افق برنامه‌ریزی یعنی زمان  $b_2 = 1^0$  بدون تغییر باقی می‌مانند.

۳. مدل‌سازی ریاضی

۱.۳. مجموعه‌ها و اندیس‌ها

$N = \{1, 2, \dots, n\}$ : مجموعه نقاط تقاضا؛

$H \subseteq N$ : مجموعه نقاط کاندید برای هاب‌ها؛

$S = \{0, 1, 2, \dots, m+1\}$ : مجموعه دوره‌های زمانی.

• پارامترها

$w_{ij}(t)$ : جریان تقاضا از گره  $i \in N$  به گره  $j \in N$  در زمان  $t \in [0, T]$ ؛

$O_i(t)$ : کل جریان خروجی از گره  $i \in N$  در زمان  $t \in [0, T]$ ؛

$D_i(t)$ : کل جریان ورودی به گره  $i \in N$  در زمان  $t \in [0, T]$ ؛

$c_{ij}$ : هزینه‌ی واحد حمل‌ونقل از گره  $i \in N$  به گره  $j \in N$ ؛

$\alpha$ : ضریب تخفیف برای جریان‌های میان هاب‌ها؛

$P$ : تعداد هاب‌هایی که در هر دوره باید باز شوند؛

$OC_k$ : هزینه‌ی گشایش هاب  $k \in H$ ؛

$OCe_{kl}$ : هزینه‌ی گشایش کمان هاب  $(k, l) \in H$  که  $k, l \in H$ ؛

$CC_k$ : هزینه‌ی بستن هاب  $k \in H$ ؛

$CCe_{kl}$ : هزینه‌ی بستن کمان هاب  $(k, l) \in H$  که  $k, l \in H$ ؛

$B$ : بودجه‌ی در دسترس برای هزینه‌های باز و بسته کردن هاب‌ها و کمان‌های هاب در کل افق برنامه‌ریزی؛

$Q_k$ : بیشینه تعداد مدول‌هایی که می‌تواند بر روی هاب  $k \in H$  نصب شود؛

$Q'_{kl}$ : بیشینه تعداد مدول‌هایی که می‌تواند بر روی کمان هاب  $(k, l)$  نصب شود که  $k, l \in H$ ؛

$CIM_k$ : هزینه‌ی نصب هر مدول بر روی هاب  $k \in H$ ؛

$Ctr_{kl}$ : هزینه‌ی انتقال هر مدول از هاب  $k \in H$  به هاب  $l \in H$ ؛

$CeAM_{kl}$ : هزینه‌ی نصب هر کمان اضافی روی کمان هاب  $(k, l)$  که  $k, l \in H$ ؛  
 $\Delta$ : ظرفیت هر مدول هاب؛

$\Delta'$ : ظرفیت هر کمان اضافی؛

$Cap_{kl}$ : ظرفیت کمان هاب  $(k, l)$  که  $k, l \in H$ ؛

$d$ : حداقل فاصله‌ی زمانی که باید میان نقاط شکست وجود داشته باشد؛  
 $vs$ : سرعت وسیله‌ی نقلیه (متر بر ثانیه)؛

$EW$ : جرم وسیله‌ی نقلیه در حالت خالی (کیلوگرم)؛

$LW$ : جرم باری که توسط وسیله‌ی نقلیه حمل می‌شود (کیلوگرم)؛

$d_{ij}$ : فاصله‌ی میان گره  $i \in N$  و گره  $j \in N$  (متر)؛

$\gamma_{ij}$ : ثابت کمان  $(i, j)$ ،  $i, j \in N$  که به پارامترهایی مانند شتاب وسیله‌ی نقلیه، شتاب جاذبه، ضریب مقاومت غلظتی و شیب جاده وابسته است؛

$\beta$ : ثابت وسیله‌ی نقلیه که به پارامترهایی مانند ضریب درگ، سطح مقطع وسیله‌ی

$$z_{Cks} \leq 1 - z_{kks} \quad \forall k \in H, s \in S \setminus \{o\}, \{1\} \quad (12)$$

$$\sum_{q=1}^{Q_k} u_{kqs} \leq z_{kks} \quad \forall k \in H, s \in S \setminus \{o\} \quad (13)$$

$$e_{kls} \leq z_{kks} \quad \forall k, l \in H, k < l, s \in S \setminus \{o\} \quad (14)$$

$$e_{kls} \leq z_{lls} \quad \forall k, l \in H, k < l, s \in S \setminus \{o\} \quad (15)$$

$$e_{Ckls} \leq e_{kl, s-1} \quad \forall k, l \in H, k < l, s \in S \setminus \{o\}, \{1\} \quad (16)$$

$$e_{Ckls} \leq 1 - e_{kls} \quad \forall k, l \in H, k < l, s \in S \setminus \{o\}, \{1\} \quad (17)$$

$$e_{kl, s-1} - e_{kls} \leq e_{Ckls} \quad \forall k, l \in H, k < l, s \in S \setminus \{o\}, \{1\} \quad (18)$$

$$\sum_{q'=1}^{Q'_{kl}} e_{aq'kls} \leq e_{kls} \quad \forall k, l \in H, k < l, s \in S \setminus \{o\} \quad (19)$$

$$\sum_{l \in H, l \neq k} Y_{kls}^i - \sum_{l \in H, l \neq k} Y_{lks}^i = \left( \int_{b_{s-1}}^{b_s} O_i(t) dt \right) z_{iks} - \sum_{j \in N} \left( \int_{b_{s-1}}^{b_s} w_{ij}(t) dt \right) z_{jks} \quad \forall i \in N, k \in H, s \in S \setminus \{o\} \quad (20)$$

$$\sum_{i \in N} Y_{kls}^i + \sum_{i \in N} Y_{lks}^i \leq C_{apekl} \cdot e_{kls} + \Gamma' \sum_{q'=1}^{Q'_{kl}} q' \cdot e_{aq'kls} \quad \forall k, l \in H, k < l, s \in S \setminus \{o\} \quad (21)$$

$$Y_{kls}^i + Y_{lks}^i \leq \left( \int_{b_{s-1}}^{b_s} O_i(t) dt \right) e_{kls} \quad \forall i \in N, k, l \in H, k < l, s \in S \setminus \{o\} \quad (22)$$

$$\sum_{q=1}^{Q_k} trc_{qkls} \leq z_{kks} \quad \forall k, l \in H, k \neq l, s \in S \setminus \{o\}, \{1\} \quad (23)$$

$$\sum_{q=1}^{Q_k} trc_{qkls} \leq z_{lls} \quad \forall k, l \in H, k \neq l, s \in S \setminus \{o\}, \{1\} \quad (24)$$

$$\sum_{l \in H, l \neq k} trc_{qkls} \leq 1 \quad \forall k \in H, q = 1, \dots, Q_k, s \in S \setminus \{o\}, \{1\} \quad (25)$$

$$\sum_{l \in H, l \neq k} \sum_{q=1}^{Q_k} q \cdot trc_{qkls} \leq \sum_{q=1}^{Q_k} \sum_{s' \in S \setminus \{o\}, s' < s+1} q u_{kqs'} + \sum_{s' \in S \setminus \{o\}, s' < s+1} \sum_{l \in H, l \neq k} \sum_{q=1}^{Q_k} q \cdot trc_{qkls} \quad \forall k \in H, s \in S \setminus \{o\}, \{1\} \quad (26)$$

$$\sum_{s \in S \setminus \{o\}} \sum_{q=1}^{Q_k} q \cdot u_{kqs} - \sum_{s \in S \setminus \{o\}, \{1\}} \sum_{l \in H, l \neq k} \sum_{q=1}^{Q_k} q \cdot trc_{qkls} + \sum_{s \in S \setminus \{o\}, \{1\}} \sum_{l \in H, l \neq k} \sum_{q=1}^{Q_k} q \cdot trc_{qkls} \leq Q_k \quad \forall k \in H \quad (27)$$

$$\sum_{i \in N} \left( \int_{b_{s-1}}^{b_s} O_i(t) dt \right) z_{iks} + \sum_{l \in H} \sum_{i \in N} Y_{lks}^i \leq \Gamma \left( \sum_{q=1}^{Q_k} q \left( \sum_{s' \in S \setminus \{o\}, s' < s+1} u_{kqs'} - \sum_{s' \in S \setminus \{o\}, s' < s+1} trc_{qkls'} \right) + \sum_{l \in H, l \neq k} \sum_{s' \in S \setminus \{o\}, s' < s+1} \sum_{l \in H, l \neq k} trc_{qkls'} \right) \quad \forall k \in H, s \in S \setminus \{o\} \quad (28)$$

انتگرال‌گیری از تابع تقاضا در بازه  $[b_{s-1}, b_s]$  حاصل می‌شود.

$$\int_{b_{s-1}}^{b_s} w_{ij}(t) dt = a_{ij}(b_s - b_{s-1}) + h_{ij} \left( \frac{b_s^2 - b_{s-1}^2}{2} \right) \quad \forall s \in S \setminus \{o\} \quad (1)$$

۳.۲.۳. مدل برنامه‌ریزی غیرخطی سه‌هدفه

$$\begin{aligned} \min Obj_1 = & \sum_{s \in S \setminus \{o\}} \sum_{i \in N} \sum_{k \in H} z_{iks} \int_{b_{s-1}}^{b_s} (c_{ik} O_i(t) + c_{ki} D_i(t)) dt + \\ & \sum_{s \in S \setminus \{o\}} \sum_{i \in N} \sum_{k \in H} \sum_{l \in H} \alpha c_{kl} Y_{kls}^i + \sum_{s \in S \setminus \{o\}} \sum_{k \in H} OC_k (z_{kks} - z_{kk, s-1} + z_{Cks}) + \\ & \sum_{s \in S \setminus \{o\}, \{1\}} \sum_{k \in H} CC_k z_{Cks} + \sum_{s \in S \setminus \{o\}} \sum_{k \in H} \sum_{q=1}^{Q_k} CIM_k q u_{kqs} + \\ & \sum_{s \in S \setminus \{o\}} \sum_{k \in H} \sum_{l \in H, l > k} OC_{ekl} (e_{kl, s} - e_{kl, s-1} + e_{Ckls}) + \\ & \sum_{s \in S \setminus \{o\}, \{1\}} \sum_{k \in H} \sum_{l \in H, l > k} CC_{ekl} e_{Ckls} + \\ & \sum_{s \in S \setminus \{o\}} \sum_{k \in H} \sum_{l \in H, l > k} \sum_{q'=1}^{Q'_{kl}} C_{eAM_{kl}} q' e_{aq'kls} + \\ & \sum_{s \in S \setminus \{o\}, \{1\}} \sum_{k \in H} \sum_{l \in H, l \neq k} \sum_{q=1}^{Q_k} C_{trkl} q trc_{qkls} \end{aligned} \quad (2)$$

$$\begin{aligned} \min Obj_r = (EW + LW) \times & \left\{ \sum_{s \in S \setminus \{o\}} \sum_{k \in H} \sum_{l \in H} \sum_{i \in N} \gamma_{kl} Y_{kls}^i d_{kl} + \right. \\ & \left. \left\{ \sum_{s \in S \setminus \{o\}} \sum_{k \in H} \sum_{i \in N} d_{ik} z_{iks} \int_{b_{s-1}}^{b_s} (O_i(t) + D_i(t)) dt + \right\} \right. \\ & \beta \left\{ \sum_{s \in S \setminus \{o\}} \sum_{k \in H} \sum_{l \in H} \sum_{i \in N} v s_{ik}^i d_{ik} z_{iks} + \right. \\ & \left. \left. \left\{ \sum_{s \in S \setminus \{o\}} \sum_{k \in H} \sum_{l \in H} v s_{kl}^i d_{kl} e_{kls} \right\} \right\} \end{aligned} \quad (3)$$

$$\begin{aligned} \max Obj_r = & \sum_{s \in S \setminus \{o\}} \sum_{k \in H} z_{kks} FJO_k + \\ & \sum_{s \in S \setminus \{o\}} \sum_{i \in N} \sum_{k \in H} z_{iks} VJO_k \int_{b_{s-1}}^{b_s} (O_i(t) + D_i(t)) dt \end{aligned} \quad (4)$$

$$\sum_{k \in H} z_{iks} = 1 \quad \forall i \in N, s \in S \setminus \{o\} \quad (5)$$

$$\sum_{k \in H} z_{kks} = P \quad \forall s \in S \setminus \{o\} \quad (6)$$

$$z_{iks} \leq z_{kks} \quad \forall i \in N, k \in H, s \in S \setminus \{o\} \quad (7)$$

$$z_{kks} \leq z_{kk, s+1} + z_{Ck, s+1} \quad \forall k \in H, s \in S \setminus \{o\}, \{m+1\} \quad (8)$$

$$\sum_{s \in S \setminus \{o\}, \{1\}} z_{Cks} \leq 1 \quad \forall k \in H \quad (9)$$

$$z_{Cks} \leq z_{kk, s-1} \quad \forall k \in H, s \in S \setminus \{o\}, \{1\} \quad (10)$$

$$z_{Cks} \leq 1 - \frac{1}{m-1} \sum_{s' \in S, s' > s} z_{kks'} \quad \forall k \in H, s \in S \setminus \{o\}, \{1\} \quad (11)$$

می‌کند که طی افق برنامه‌ریزی، بستن هر هاب می‌تواند حداکثر یک بار رخ دهد. طبق محدودیت ۱۰، یک هاب در یک دوره در صورتی می‌تواند بسته شود که در دوره قبل از آن بازگشایی شده باشد. در صورتی که یک هاب در یک دوره خاص بسته شود، تا انتهای افق برنامه‌ریزی بسته می‌ماند. این امر توسط محدودیت ۱۱ تضمین می‌شود. محدودیت ۱۲ تضاد میان باز بودن و بسته بودن یک هاب را نشان می‌دهد. محدودیت ۱۳ تضمین می‌کند که تنها هاب‌های بازگشایی شده در یک دوره می‌توانند مدول دریافت کنند. محدودیت‌های ۱۴ و ۱۵ بیان می‌کنند که یک کمان هاب در یک دوره می‌تواند بازگشایی شود، اگر ابتدا و انتهای آن کمان هاب باشند. طبق محدودیت ۱۶ یک کمان هاب در یک دوره در صورتی می‌تواند بسته شود که در دوره قبل از آن بازگشایی شده باشد. محدودیت ۱۷ بیان می‌دارد که در صورتی که یک کمان هاب باز باشد، آن کمان هاب بسته نیست. طبق محدودیت ۱۸، اگر یک هاب در دوره فعلی بازگشایی نشده است و در دوره قبل فعال بوده است، آن هاب بسته شده است. محدودیت ۱۹ بیان می‌کند که تنها کمان‌های هاب بازگشایی شده در یک دوره می‌توانند لینک اضافی دریافت کنند. محدودیت ۲۰ مربوط به مسیریابی جریان‌ها در شبکه در هر دوره از افق برنامه‌ریزی است. این محدودیت، تعادل جریان را در شبکه تضمین می‌کند. طبق این محدودیت، در صورتی که گره تقاضای  $i$  به یک هاب  $k$  در یک دوره خاص اختصاص یافته باشد، تقاضای کل جریان‌های نشأت گرفته از  $i$  روی کمان‌های هاب شامل هاب  $k$  (با گره آغازین  $k$ ) و جریان‌های نشأت گرفته از  $i$  روی کمان‌های هاب شامل هاب  $k$  با گره پایانی  $k$  برابر است با کل جریانی که باید از گره  $i$  به سایر گره‌ها در شبکه منتقل شود، منهای آن جریان‌هایی از گره  $i$  به سایر گره‌های تخصیص یافته به هاب  $k$  منتقل می‌شود. محدودیت ظرفیت جریان‌های روی یک کمان هاب با رابطه‌ی ۲۱ مشخص می‌شود. این ظرفیت شامل مجموع ظرفیت اولیه کمان و ظرفیت لینک‌های اضافی نصب شده روی آن کمان است. حد بالای جریان‌های روی یک کمان هاب نیز توسط محدودیت ۲۲ مشخص می‌شود. در صورتی که کمان احداث نشده باشد، جریان روی آن برابر صفر خواهد بود. بر اساس محدودیت‌های ۲۳ و ۲۴، انتقال ظرفیت در هر دوره، تنها میان هاب‌های مکان‌یابی شده انجام شدنی است. این انتقال ظرفیت از یک هاب دقیقاً به یک هاب دیگر انجام می‌شود. این امر توسط محدودیت ۲۵ تضمین می‌شود. محدودیت ۲۶ بیان می‌کند که در هر دوره، بیشینه‌ی تعداد مدول‌هایی که می‌توانند از یک هاب به هاب دیگر منتقل شوند، برابر با مجموع مدول‌های نصب شده روی آن هاب و مدول‌های انتقال یافته از هاب‌های دیگر به آن هاب است، تا آن دوره. محدودیت ۲۷ حد بالایی را برای مجموع مدول‌های نصب شده روی هر هاب و مدول‌های انتقال یافته از هاب‌های دیگر به آن هاب منهای مدول‌های انتقال یافته از آن هاب به هاب‌های دیگر مشخص می‌کند. بر اساس محدودیت ۲۸، مجموع جریان‌های ورودی به هر هاب در هر دوره، نباید از ظرفیت آن هاب تجاوز کند. این ظرفیت وابسته به مدول‌هایی است که آن هاب در آن دوره داراست. محدودیت ۲۹ مشخص می‌کند که بودجه در دسترس برای بازگشایی و بستن هاب‌ها و کمان‌های هاب در کل افق برنامه‌ریزی محدود است. محدودیت ۳۰ تضمین می‌کند که بین نقاط شکست، حداقل فاصله‌ی به اندازه‌ی  $d$  وجود داشته باشد. محدودیت‌های (۳۱-۳۹)، نوع متغیرهای تصمیم مسئله را مشخص می‌کنند. محدودیت‌های (۴۰-۴۶)، یک پیش‌پردازش را روی مسئله انجام می‌دهند. لازم به ذکر است که باید در مورد روابط ۲-۴، ۲۰، ۲۲، ۲۸ و ۲۸ انتگرال‌گیری انجام شود.

#### ۴.۲.۳. خطی سازی مدل

در مدل پیشنهادی، عبارت‌های ضربی  $b_s^i e_{kls}$ ،  $b_s^i z_{iks}$ ،  $b_s^i z_{iks}$ ،  $b_s^i z_{iks}$  غیرخطی است. برای هر یک از این عبارت‌های غیرخطی، یک متغیر جدید معرفی

$$\sum_{s \in S \setminus \{0\}} \sum_{k \in H} OC_k (z_{kks} - z_{kk,s-1} + z_{ck}) + \sum_{s \in S \setminus \{0\}, \{1\}} \sum_{k \in H} CC_k z_{ck} + \sum_{s \in S \setminus \{0\}} \sum_{k \in H} \sum_{l \in H, l > k} OC_{ekl} (e_{kls} - e_{kl,s-1} + e_{ckls}) + \sum_{s \in S \setminus \{0\}, \{1\}} \sum_{k \in H} \sum_{l \in H, l > k} CC_{ekl} e_{ckls} \leq B \quad (29)$$

$$b_s + d \leq b_{s+1} \quad \forall s \in S \quad (30)$$

$$z_{iks} \in \{0, 1\} \quad \forall i \in N, k \in H, s \in S \quad (31)$$

$$u_{kqs} \in \{0, 1\} \quad \forall k \in H, q = 1, \dots, Q_k, s \in S \setminus \{0\} \quad (32)$$

$$trc_{qkl} \in \{0, 1\} \quad \forall q = 1, \dots, Q_k, k, l \in H, k \neq l, s \in S \setminus \{0\} \quad (33)$$

$$e_{kls} \in \{0, 1\} \quad \forall k, l \in H, k < l, s \in S \quad (34)$$

$$ec_{kls} \in \{0, 1\} \quad \forall k, l \in H, k < l, s \in S \setminus \{0\} \quad (35)$$

$$ea_{q'kls} \in \{0, 1\} \quad \forall q' = 1, \dots, Q'_{kl}, k, l \in H, k < l, s \in S \setminus \{0\} \quad (36)$$

$$z_{ck} \in \{0, 1\} \quad \forall k \in H, s \in S \setminus \{0\} \quad (37)$$

$$Y_{kls}^i \geq 0 \quad \forall i \in N, k, l \in H, s \in S \setminus \{0\} \quad (38)$$

$$b_s \in [0, T] \quad \forall s \in S \quad (39)$$

$$b_0 = 0 \quad (40)$$

$$b_{m+1} = T \quad (41)$$

$$z_{ik,0} = 0 \quad \forall i \in N, k \in H \quad (42)$$

$$z_{ck,1} = 0 \quad \forall k \in H \quad (43)$$

$$e_{kl,0} = 0 \quad \forall k, l \in H, k < l \quad (44)$$

$$ec_{kl,1} = 0 \quad \forall k, l \in H, k < l \quad (45)$$

$$trc_{qkl,1} = 0 \quad \forall q = 1, \dots, Q_k, k, l \in H, k \neq l \quad (46)$$

تابع هدف اول، هزینه‌های حمل‌ونقل، بازگشایی و بستن هاب‌ها و کمان‌های هاب، افزایش ظرفیت هاب‌ها و کمان‌های هاب و انتقال ظرفیت میان هاب‌ها را در کل افق برنامه‌ریزی کمیته می‌کند. تابع هدف دوم، مجموع انتشار آلاینده‌ها توسط وسایل نقلیه در شبکه‌ی هاب را در کل افق برنامه‌ریزی کمیته می‌کند. در این پژوهش، انتشار آلاینده‌ها بر اساس انرژی مصرف شده توسط وسایل نقلیه روی شبکه‌ی هاب چنددوره‌ی محاسبه می‌شود که مستقیماً به نرخ مصرف سوخت و در نتیجه انتشار آلاینده‌ها در شبکه مربوط می‌شود. نحوه‌ی محاسبه‌ی انتشار آلاینده‌ها، در برخی منابع [۲۰، ۲۱، ۲۲] ذکر شده و در آنها از یک رابطه‌ی ساده شده‌ی محاسبه‌ی نرخ مصرف سوخت برای محاسبه‌ی انتشار آلاینده‌ها توسط وسایل نقلیه استفاده شده است. در تابع هدف سوم، بیشینه‌سازی فرصت‌های شغلی ثابت و متغیر ایجاد شده در اثر بازگشایی هاب‌ها در کل افق برنامه‌ریزی مد نظر است. محدودیت ۵ بیان می‌دارد که در هر دوره، هر نقطه‌ی تقاضا باید دقیقاً به یک هاب اختصاص یابد (تخصیص یگانه). طبق محدودیت ۶، در هر دوره باید  $P$  هاب بازگشایی شود. محدودیت ۷ تضمین می‌کند که در هر دوره، نقاط تقاضا تنها به هاب‌های بازگشایی شده تخصیص یابد. بر اساس محدودیت ۸، اگر یک هاب در یک دوره‌ی زمانی بازگشایی شود، در دوره‌ی بعد می‌تواند به فعالیت خود ادامه دهد یا بسته شود. محدودیت ۹ بیان

$$bz'_{siks'} \geq \sum_{g \in GP} \lambda_{gs} \varphi_{gs}^v - T^v \cdot (1 - z_{iks'}) \quad (57)$$

$$\forall i \in N, k \in H, s, s' \in S \setminus \{0\}, s' = sors' = s + 1$$

$$be_{skls'} \leq T \cdot e_{kls'}$$

$$\forall k, l \in H, k < l, s, s' \in S \setminus \{0\}, s' = sors' = s + 1 \quad (58)$$

$$be_{skls'} \leq \sum_{g \in GP} \lambda_{gs} \varphi_{gs}$$

$$\forall k, l \in H, k < l, s, s' \in S \setminus \{0\}, s' = sors' = s + 1 \quad (59)$$

$$be_{skls'} \geq \sum_{g \in GP} \lambda_{gs} \varphi_{gs} - T \cdot (1 - e_{kls'}) \quad (60)$$

$$\forall k, l \in H, k < l, s, s' \in S \setminus \{0\}, s' = sors' = s + 1$$

$$be'_{skls'} \leq T^v \cdot e_{kls'}$$

$$\forall k, l \in H, k < l, s, s' \in S \setminus \{0\}, s' = sors' = s + 1 \quad (61)$$

$$be'_{skls'} \leq \sum_{g \in GP} \lambda_{gs} \varphi_{gs}^v$$

$$\forall k, l \in H, k < l, s, s' \in S \setminus \{0\}, s' = sors' = s + 1 \quad (62)$$

$$be'_{skls'} \geq \sum_{g \in GP} \lambda_{gs} \varphi_{gs}^v - T^v \cdot (1 - e_{kls'}) \quad (63)$$

$$\forall k, l \in H, k < l, s, s' \in S \setminus \{0\}, s' = sors' = s + 1$$

بنابراین، برای خطی‌سازی عبارت‌های ضربی عبارت‌های کوادراتیک، محدودیت‌های ۴۹-۶۳ باید به مدل مسئله افزوده شوند.

### ۳.۳. نامعادلات معتبر

در این زیربخش، تعدادی نامعادله معتبر برای تقویت فرمولاسیون مسئله ارائه می‌کنیم. افزودن نامعادلات معتبر به مدل، می‌تواند چندوجهی متناظر با فرمولاسیون برنامه‌ریزی عدد صحیح آمیخته را بهبود دهد زمان حل نمودهای مسئله را کاهش دهد (از طریق محدودتر کردن فضای حل).

نامعادله‌ی ارائه شده در رابطه‌ی ۶۴ با توجه به این نکته که در هر دوره، گراف شامل هاب‌ها باید یک گراف همبند باشد، معتبر است. یعنی در هر دوره باید تعداد کمان‌های هاب در گراف شامل هاب‌های بزرگ‌تر یا مساوی با تعداد رئوس گراف منهای یک باشد. تعداد رئوس در گراف شامل هاب‌ها معادل تعداد هاب‌هایی است که در هر دوره مکان‌یابی می‌شوند ( $P$ ). در دوره اول، دقیقاً  $P$  هاب، مدول دریافت می‌کنند. زیرا در دوره اول، هر هاب باید دست‌کم یک مدول برای پردازش جریان‌ها در اختیار داشته باشد. رابطه‌ی ۶۵ بیان‌گر این مطلب است. محدودیت ۶۶ نیز تضمین می‌کند که در هر دوره، هر هاب بازگشایی شده دارای دست‌کم یک مدول برای پردازش جریان‌هاست. این مدول‌ها باید تا دوره مورد نظر روی هاب بازگشایی شده نصب شده باشد.

$$\sum_{k \in H} \sum_{l \in H, l > k} e_{kls} \geq P - 1 \quad \forall s \in S \setminus \{0\} \quad (64)$$

$$\sum_{k \in H} \sum_{q=1}^{Q_k} u_{kq,1} = P \quad (65)$$

$$z_{kks} \leq \sum_{q=1}^{Q_k} \sum_{s' \in S \setminus \{0\}, s' < s+1} q u_{kqs'} - \sum_{s' \in S \setminus \{0\}, s' < s+1} \sum_{l \in H, l \neq k} \sum_{q=1}^{Q_k} q \cdot trc_{qkls'}$$

می‌کنیم. در نظر بگیرید:  $bz'_{siks'} = b_s^v z_{iks'}$  و  $bz_{siks'} = b_s z_{iks'}$  به‌ازای  $be'_{skls'} = be_{skls'} = b_s e_{kls'}$ ، همچنین،  $s, s' \in S, i \in N, k \in H$  ضرب یک متغیر پیوسته در یک متغیر باینری هستند. بنابراین، با توجه به این‌که متغیر باینری مقدار صفر یا ۱ را می‌گیرد، مقدار متغیرهای معرفی شده یا برابر با صفر است یا برابر با مقداری است که متغیر پیوسته می‌گیرد. محدودیت‌هایی که در ادامه معرفی می‌شود، این شرایط را ایجاد می‌کنند. اما با توجه به این‌که متغیر پیوسته  $b_s^v \forall s \in S$  خود یک عبارت غیرخطی است، ابتدا نحوه‌ی خطی‌سازی این عبارت را شرح می‌دهیم و سپس محدودیت‌های مربوط به خطی‌سازی عبارت‌های ضربی را ارائه می‌کنیم.

برای خطی‌سازی عبارت‌های  $b_s^v \forall s \in S$  بازه تغییرات  $b_s$  را به‌کمک تعدادی نقاط تقسیم‌بندی به‌صورت  $1, \dots, G, s = 0, 1, \dots, m+1$  به  $G-1$  زیربازه تقسیم می‌کنیم. در نظر بگیرید  $\varphi_{1,s} = 0$  و  $\varphi_{G,s} = T$ . بنابراین، هر نقطه از بازه  $[0, T]$  را که معادل یک مقدار برای  $b_s$  است، می‌توان به‌صورت ترکیب محدبی از نقاط تقسیم‌بندی نمایش داد. با در نظر گرفتن ضرایب ترکیب محدب به‌صورت  $\lambda_{gs}$ ، خواهیم داشت:

$$b_s = \sum_{g \in GP} \lambda_{gs} \varphi_{gs} \quad \forall s \in S \quad (47)$$

$$b_s^v = \sum_{g \in GP} \lambda_{gs} \varphi_{gs}^v \quad \forall s \in S \quad (48)$$

$$\sum_{g \in GP} \lambda_{gs} = 1 \quad \forall s \in S \quad (49)$$

$$\lambda_{gs} \in SOS2 \quad \forall s \in S, g \in GP \quad (50)$$

$$\lambda_{gs} \geq 0 \quad \forall s \in S, g \in GP \quad (51)$$

در رابطه‌ی ۵۰، مجموعه‌ی  $SOS2$  ترتیبی از متغیرهای نامنفی است که حداکثر دو مورد از آن‌ها می‌توانند مقدار غیرصفر بگیرند. در صورتی که دو متغیر مقدار غیرصفر بگیرند، این دو متغیر باید متوالی باشند.

براساس توضیحات فوق، محدودیت‌های ۵۲-۶۳ برای خطی‌سازی عبارت‌های ضربی باید به مدل افزوده شوند.

$$bz_{siks'} \leq T \cdot z_{iks'} \quad (52)$$

$$\forall i \in N, k \in H, s, s' \in S \setminus \{0\}, s' = sors' = s + 1$$

$$bz_{siks'} \leq \sum_{g \in GP} \lambda_{gs} \varphi_{gs} \quad (53)$$

$$\forall i \in N, k \in H, s, s' \in S \setminus \{0\}, s' = sors' = s + 1$$

$$bz_{siks'} \geq \sum_{g \in GP} \lambda_{gs} \varphi_{gs} - T \cdot (1 - z_{iks'}) \quad (54)$$

$$\forall i \in N, k \in H, s, s' \in S \setminus \{0\}, s' = sors' = s + 1$$

$$bz'_{siks'} \leq T^v \cdot z_{iks'} \quad (55)$$

$$\forall i \in N, k \in H, s, s' \in S \setminus \{0\}, s' = sors' = s + 1$$

$$bz'_{siks'} \leq \sum_{g \in GP} \lambda_{gs} \varphi_{gs}^v \quad (56)$$

$$\forall i \in N, k \in H, s, s' \in S \setminus \{0\}, s' = sors' = s + 1$$



در فرمول بندی ۶۹،  $e_r, e_r, \dots, e_p$  مقادیر سمت راست محدودیت ها در یک تکرار خاص از الگوریتم بر اساس نقاط تقسیم بندی توابع هدف  $2, \dots, p$  هستند. همچنین  $\epsilon$  یک ثابت است که مقدار آن بین  $0.0000001$  و  $0.0001$  است. همچنین  $r_1, \dots, r_p$  محدوده ی توابع هدف  $2, \dots, p$  هستند. محدوده ی هر تابع هدف، تفاوت میان بهترین و بدترین مقدار آن تابع هدف در جدول موازنه است.  $F$  ناحیه ی موجه مسئله است و  $S_1, \dots, S_p$  متغیرهای کمکی مربوط به محدودیت های مسئله هستند. محدوده ی توابع هدف  $2, \dots, p$  به  $g_k$  بازه با طول یکسان تقسیم می شود. این کار به کمک  $g_k - 1$  نقطه ی تقسیم بندی (گرید) داخلی انجام می شود. تعداد اجراهای الگوریتم برابر با  $(g_2 + 1) \times \dots \times (g_p + 1)$  است. مقدار سمت راست هر محدودیت در تکرار  $t$  برای تابع هدف  $k = 2, \dots, p$  به صورت  $e_{kt} = fmin_k + t \times (r_k/g_k)$  است که در آن،  $fmin_k$  بهترین مقدار تابع هدف  $k = 2, \dots, p$  در جدول موازنه است. یک ضریب گذر  $[S_k/step_k]$   $b = [S_k/step_k]$  را برای داخلی ترین تابع هدف (در مسئله ی ما تابع هدف سوم) تعریف می کنیم. اگر  $S_k > step_k$ ، تکرار بعدی الگوریتم، زائد است و می توان آن را نادیده گرفت.

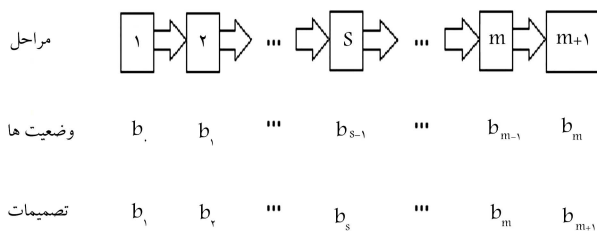
### ۲.۴. روش برنامه ریزی پویا

در مسئله ی حاضر، مراحل در روش برنامه ریزی پویا عبارت اند از دوره های زمانی و در هر مرحله باید نقطه ی زمانی انتهای هر دوره مشخص شود. وضعیت در هر مرحله، شامل مقدار متغیر مربوط به نقطه شکست فعلی است و باید در مورد مقدار نقطه شکست بعدی تصمیم گیری شود. حل مسئله به صورت پیشرو انجام می شود. در شکل ۳، نمایش گرافیکی این موارد را مشاهده می کنید.

در ادامه توضیحاتی را راجع به تابع ادغام روش تریبی - حصینی که در پژوهش [۳۳] ارائه شده، ارائه می کنیم. زیرا در مرحله ی روش برنامه ریزی پویا پیشنهادی، برای تبدیل مسئله سه هدفه به یک مسئله تک هدفه، کاربرد می یابد. در این روش، برای محاسبه ی مقادیر ایده آل مثبت (PIS)، یعنی مقادیر  $(Obj_1^{PIS}, x_1^{PIS}), (Obj_2^{PIS}, x_2^{PIS}), (Obj_3^{PIS}, x_3^{PIS})$ ، باید هر یک از اهداف مسئله به صورت جداگانه تحت محدودیت های مسئله بهینه سازی شوند. مقادیر ایده آل منفی (NIS) از بهینه سازی اهداف ذکر شده در روابط ۷۰ و ۷۱ تحت تمامی محدودیت های مسئله حاصل می شوند. در این حالت، اهداف اول و دوم مسئله به صورت جداگانه در جهت بیشینه سازی تحت محدودیت های مسئله بهینه می شوند و هدف سوم در جهت کمینه سازی تحت محدودیت های مسئله بهینه می شود (هدف این است که بدترین مقادیر ممکن برای اهداف تحت محدودیت های مسئله محاسبه شود).

$$Obj_f^{NIS} = \max Obj_f; \quad \forall f = 1, 2 \quad (70)$$

$$Obj_r^{NIS} = \min Obj_r; \quad (71)$$



شکل ۳. مراحل، وضعیت ها و تصمیمات در روش برنامه ریزی پویا.

$$\sum_{s' \in S \setminus \{0\}, s' < s+1} \sum_{l \in H, l \neq k} \sum_{q=1}^{Q_k} q \cdot trc_{qkls'} \quad \forall k \in H, s \in S \setminus \{0\} \quad (66)$$

در ادامه، نامعادله ی معتبر دیگری را نیز ارائه می کنیم که مبتنی بر پژوهش [۱۳] است. محدودیت ۲۷ را در نظر بگیرید. این محدودیت را از طریق رابطه ی ۶۷ می توان بهبود داد:

$$\sum_{s \in S \setminus \{0\}} \sum_{q=1}^{Q_k} q \cdot u_{kqs} - \sum_{s \in S \setminus \{0\}, \{1\}} \sum_{l \in H, l \neq k} \sum_{q=1}^{Q_k} q \cdot trc_{qkls} + \sum_{s \in S \setminus \{0\}, \{1\}} \sum_{l \in H, l \neq k} \sum_{q=1}^{Q_k} q \cdot trc_{qkls} \leq Q_k \sum_{s \in S} z_{kks} \quad \forall k \in H \quad (67)$$

بر اساس روش گرد کردن Chvátal-Gomory، در رابطه ی ۶۷ می توان طرفین را بر یک مقدار صحیح مانند  $\eta \geq 1$  (یک عدد صحیح بین ۱ تا  $Q_k$ )، تقسیم کرد و ضرایب سمت چپ را به پایین گرد کرد. با توجه به این که سمت چپ محدودیت حاصل همواره عددی صحیح است، سمت راست محدودیت را نیز می توان به پایین گرد کرد. با انجام این مراحل، به فرم فشرده تری از محدودیت که در رابطه ی ۶۸ آمده است، می رسیم.

$$\sum_{s \in S \setminus \{0\}} \sum_{q=1}^{Q_k} \left\lfloor \frac{q}{\eta} \right\rfloor \cdot u_{kqs} - \sum_{s \in S \setminus \{0\}, \{1\}} \sum_{l \in H, l \neq k} \sum_{q=1}^{Q_k} \left\lfloor \frac{q}{\eta} \right\rfloor \cdot trc_{qkls} + \sum_{s \in S \setminus \{0\}, \{1\}} \sum_{l \in H, l \neq k} \sum_{q=1}^{Q_k} \left\lfloor \frac{q}{\eta} \right\rfloor \cdot trc_{qkls} \leq \left\lfloor \frac{Q_k}{\eta} \right\rfloor \sum_{s \in S} z_{kks} \quad \forall k \in H, \eta = 1, \dots, Q_k \quad (68)$$

نامعادلات معتبر در روابط ۶۴-۶۶ و ۶۸ برای بهبود فرمول بندی، می توانند به مدل مسئله اضافه شوند.

## ۴. روش حل

### ۱.۴. روش محدودیت اپسیلون تکامل یافته

در این روش یکی از توابع هدف بهینه سازی می شود، [۳۲] در حالی که سایر توابع هدف در محدودیت ها گنجانده می شوند. اطلاعات حاصل از متغیرهای کمکی محدودیت ها، از تکرارهای اضافی الگوریتم جلوگیری می کند و زمان حل را کاهش می دهد. یک مسئله ی چندهدفه با  $p$  هدف را در نظر بگیرید. فرم کلی مسئله ی بهینه سازی در روش محدودیت اپسیلون تکامل یافته عبارت است از:

$$\begin{aligned} & \min (f_1(x) + \epsilon) \\ & (S_r/r_r + 10^{-1} \times S_r/r_r) + \dots + 10^{-(p-1)} S_r/r_r \\ & s.t. \\ & f_r(x) + S_r = e_r \\ & f_r(x) + S_r = e_r \\ & \dots \\ & f_p(x) + S_p = e_p \\ & x \in F \text{ and } S_r, S_r, \dots, S_p \in \mathbb{R}^+ \end{aligned}$$

(۶۹)

```

Input: Problem instance
Output: Optimal breakpoints
Set  $s=1$ ;
while  $s \leq m + 1$  do
    Determine states for stage  $s$ ,  $b_{s-1}$  using  $G$  grid points
    Determine possible decisions for stage  $s$ ,  $b_s$  using  $G$  grid points
    if  $b_s - b_{s-1} \geq d$  then
        Fix values  $(b_1^*, \dots, b_{s-2}^*, b_{s-1}, x_s)$  as breakpoints in multi-objective model
        Calculate PIS and NIS for each objective function
        Solve single objective model of TH method
        if model is feasible then
            Set  $f_s(b_{s-1}, x_s)$  = optimal value of the TH objective function;
        else
            Set  $f_s(b_{s-1}, x_s) = 0$ ;
        end if
    end if
     $s = s + 1$ ;
end while
 $b_{m+1}^* = T$ 
 $b_s^* = \{b_s | f_{s+1}(b_s, x_{s+1}) = \max_{b_s} f_{s+1}(b_s, x_{s+1}) = b_{s+1}^* \ \forall s = 1, \dots, m\}$ ;
 $b_0^* = 0$ ;
stop. Optimal breakpoints are obtained
    
```

شکل ۴. شبه کد الگوریتم برنامه‌ریزی پویا.

در صورتی که مدل ناموجه باشد، مقدار صفر برای  $f_s(b_{s-1}, x_s)$  در نظر گرفته می‌شود. پس از تعیین مقادیر بهینه‌ی نقاط شکست، مقادیر بهینه‌ی سایر متغیرهای تصمیم مسئله نیز از حل مدل شامل مقادیر بهینه‌ی نقاط شکست حاصل می‌شوند. شبه کد مربوط به رویکرد برنامه‌ریزی پویا برای مسئله حاضر در شکل ۴ آمده است:

## ۵. نتایج محاسباتی

### ۱.۵. مسئله‌ی نمونه

در این زیربخش، به منظور اعتبارسنجی مدل پیشنهادی، یک مسئله‌ی نمونه مبتنی بر مجموعه داده‌ی شبکه‌ی ترکیه<sup>[۳۴]</sup> تولید می‌شود. پارامترهای مورد استفاده در مسئله‌ی نمونه در جدول ۲ فهرست شده است. داده‌های مورد استفاده در روش برنامه‌ریزی پویا مجموعه داده‌ی CAB است. جریان میان نقاط تقاضا نرمال شده است، به‌گونه‌ی که مجموع جریان برابر با یک است. جزئیات تولید پارامترهای مورد نیاز مسئله، به شرح جدول ۳ است. پارامترهایی که در این جدول نیامده است، مشابه پارامترهای مسئله‌ی نمونه (جدول ۲) تولید می‌شود، با این تفاوت که به جای مجموعه داده‌ی ترکیه، از مجموعه داده‌ی CAB استفاده می‌شود. نقاط کاندید برای گشایش هاب‌ها، بر اساس مطالعات قبلی<sup>[۳۵]</sup> انتخاب شده است. جدول موازنه و نتایج حل مسئله‌ی نمونه به روش محدودیت اسپیلون تکامل یافته با  $10^{-5}$  نقطه‌گردد، به ترتیب در جدول ۴ و جدول ۵ آمده است. برای تعیین محدودی توابع هدف مسئله در روش محدودیت اسپیلون تکامل یافته، لازم است که بیشترین و کم‌ترین مقادیر ممکن برای هر یک از توابع هدف مسئله مشخص شود. بدین منظور

درجه‌ی ارضای هر یک از توابع هدف، به کمک روابط ۷۲ و ۷۳ مشخص می‌شود:

$$\mu_f(x) = \begin{cases} 1 & \text{if } Obj_f < Obj_f^{PIS} \\ \frac{Obj_f^{NIS} - Obj_f}{Obj_f^{NIS} - Obj_f^{PIS}} & \text{if } Obj_f^{PIS} \leq Obj_f \leq Obj_f^{NIS} \\ 0 & \text{if } Obj_f > Obj_f^{NIS} \end{cases} \quad \forall f = 1, 2 \quad (72)$$

$$\mu_r(x) = \begin{cases} 1 & \text{if } Obj_r > Obj_r^{PIS} \\ \frac{Obj_r - Obj_r^{NIS}}{Obj_r^{PIS} - Obj_r^{NIS}} & \text{if } Obj_r^{NIS} \leq Obj_r \leq Obj_r^{PIS} \\ 0 & \text{if } Obj_r < Obj_r^{NIS} \end{cases} \quad (73)$$

سیس، با استفاده از تابع ادغام روش ترابی - حصینی، مسئله‌ی چندهدفه به یک مسئله‌ی تک‌هدفه تبدیل می‌شود:

$$\max \omega(x) = \psi \omega_* + (1 - \psi) \sum_{f=1}^r \pi_f \mu_f(x) \quad (74)$$

$$\text{s.t.} \quad \omega_* \leq \mu_f(x), \quad f = 1, 2, 3 \quad (75)$$

$$x \in F, \quad \omega_* \in [0, 1] \quad (76)$$

که در آن، ناحیه موجه مسئله با  $F$  مشخص شده است و پارامتر  $\psi$  ضریب جبران نامیده می‌شود. اهمیت هر یک از اهداف با پارامتر  $\pi_f \in [0, 1]$  مشخص می‌شود و  $\sum_{f=1}^r \pi_f = 1, \pi_f > 0$ . با انتخاب مقادیر پارامترهای  $\psi$  و  $\pi_f$ ، جواب‌های پارتویی کارا شناسایی می‌شود. حدود متغیرهای مربوط به نقاط شکست عبارت است از:

$$b_{s-1} + d \leq b_s \leq T - (m - s + 1)d \quad \forall s = 1, \dots, m$$

ما حدود هر متغیر را به کمک نقاط تقسیم‌بندی ( $G$ ) به بازه‌های با طول یکسان تقسیم می‌کنیم. رابطه‌ی بازگشتی مسئله‌ی حاضر چنین است:

$$f_s(b_{s-1}, x_s) = c_{s,x_s} + f_{s-1}^*(x_{s-1} | x_{s-1} = b_{s-1}) \quad \forall s = 1, \dots, m+1$$

که در آن، تصمیم مربوط به مرحله  $s$  با  $x_s$  نمایش داده شده است (تصمیم مورد این که چه مقداری برای نقطه شکست در مرحله  $s$  باید در نظر گرفته شود) و  $f_s(b_{s-1}, x_s)$  بیان‌گر مقدار تابع هدف مسئله‌ی تک‌هدفه روش ترابی - حصینی در مرحله‌ی  $s$  است که در اثر اجرای تصمیم  $x_s$  (انتخاب یک مقدار برای نقطه شکست در مرحله‌ی  $S$  و حل مدل تک‌هدفه‌ی روش ترابی - حصینی) به دست می‌آید. در نظر بگیرید  $f_s^*(x_s = b_s) = 0$ . در این رابطه،  $c_{s,x_s}$  مقداری است که در اثر اجرای تصمیم  $x_s$  به  $f_s(b_{s-1}, x_s)$  در مرحله  $s$  اضافه می‌شود. همچنین،  $f_{s-1}^*(x_{s-1} | x_{s-1} = b_{s-1})$  مقدار بهینه‌ی است که از تصمیم مربوط به مرحله‌ی قبل به دست آمده است. برای محاسبه‌ی مقدار  $f_s(b_{s-1}, x_s)$  بردار مربوط به مقادیر نقاط شکست به صورت  $(b_s^*, \dots, b_{s-2}^*, b_{s-1}, x_s)$  در مدل وارد می‌شود و مقادیر ایده‌آل مثبت و منفی برای هر یک از توابع هدف و سپس مقدار تابع هدف بهینه روش ترابی - حصینی به کمک یک حل‌کننده‌ی تجاری به دست می‌آید. در این بردار،  $b_{s-2}^*, \dots, b_1^*$  تصمیمات بهینه‌ی هستند که از مراحل قبل به دست آمده‌اند.

جدول ۲. جزئیات تولید پارامترهای مسئله‌ی نمونه (مجموعه داده‌ی ترکیه).

پارامتر	مقدار	پارامتر	مقدار	پارامتر	مقدار	پارامتر	مقدار
$N$	$\{1, 2, 3, 4, 6, 16\}$	$OC_{ekl}$	Fixed_cost_linkkl (Turkish dataset)	$Cape_{kl}$	random_integer(100000, 300000)		
$H$	$\{1, 3, 6, 16\}$	$CC_k$	$0.4 \times OC_k$	$\Delta'$	100000		
$P$	3	$CC_{ekl}$	$0.4 \times OC_{ekl}$	$d$	0.5		
$S$	$\{0, 1, 2, 3\}$	$B$	4000	$vs$	$(Distance_{ij}(\text{Turkish dataset}) \times 1000) /$ $(Travel\_time_{ij}(\text{Turkish dataset}) \times 60)$		
$T$	10	$Q_k$	5	EW	4000		
$GP$	$\{1, 2, \dots, T + 1\}$	$Q'_{kl}$	5	LW	100		
$w_{ij}(t)$	$w_{ij}(\text{Turkish dataset}) + h_{ij}(t),$ $h_{ij} = \text{uniform}(-w_{ij}/T, w_{ij}/T)$	$CIM_k$	$0.2 \times OC_k$	$d_{ij}$	$Distance_{ij}(\text{Turkish dataset}) \times 1000$		
$c_{ij}$	Distance <sub>ij</sub> (Turkish dataset)	$Ctr_{kl}$	$10 \times Distance_{ij}$ (Turkish dataset)	$\gamma_{ij}$	0.98		
$\alpha$	0.9	$CeAM_{kl}$	$0.4 \times OC_{ekl}$	$\beta$	2.107		
$OC_k$	Fixed_cost_hubk(Turkish dataset)	$\Delta$	1000000	$FJO_k$	random_integer(10, 20)		
$VJO_k$	$\text{uniform}(0.00001, 0.00001)$						

جدول ۳. جزئیات تولید پارامترها در روش برنامه‌ریزی پویا.

پارامتر	مقدار	پارامتر	مقدار
$\pi_f$	1.3, 1.3, 1.3	$\Delta$	0.75
$T$	5	$Cape_{kl}$	$\text{uniform}(0.25, 2)$
$G$	10	$OC_{ekl}$	$0.5 \times c_{ij}$
$OC_k$	$\text{uniform}(200, 1000)$	$B$	15000
$\Delta'$	0.75	$vs$	random_integer(20, 40)
$d$	0.25	$VJO_k$	$\text{uniform}(10, 20)$

جدول ۴. جدول موازنه.

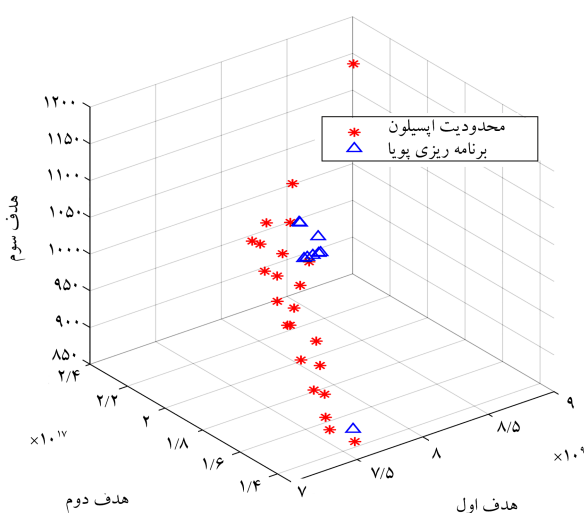
Obj. ۱	Obj. ۲	Obj. ۳
MinObj. ۱	$7,353,651 \times 10^9$	$1,369,0882 \times 10^{17}$
MinObj. ۲	$7,482,857 \times 10^9$	$1,325,2593 \times 10^{17}$
Max Obj. ۳	$8,891,490 \times 10^9$	$2,319,3975 \times 10^{17}$

روش محدودیت افسیلون تکامل یافته تنها پاسخ‌های نامغلوب را به دست آورد. برای محاسبه‌ی سطر اول جدول موازنه، تابع هدف اول مسئله به تنهایی بهینه می‌شود و مقدار بهینه‌ی حاصل در ستون اول جدول قرار می‌گیرد. برای محاسبه‌ی عنصر ستون دوم، تابع هدف دوم مسئله به تنهایی بهینه می‌شود، با این محدودیت که مقدار

از جدول موازنه استفاده می‌شود. برای به دست آوردن جدول موازنه در روش محدودیت افسیلون تکامل یافته، باید به تعداد اهداف مسئله، بهینه‌سازی ترتیبی (لکسیکوگرافیک) انجام شود؛ این کار به‌خاطر این است که در مواردی که جواب بهینه‌ی چندگانه وجود دارد، نقاط مغلوب فضای حل مسئله کنار گذاشته شوند و

جدول ۵. نتایج حل مسئله‌ی نمونه با روش محدودیت اسیلون تکامل یافته (مجموعه داده ترکیه).

نقاط شکست	Obj.۳	Obj.۲ (×۱۰ <sup>-۷</sup> )	Obj.۱ (×۱۰ <sup>-۶</sup> )	شماره جواب پارتو	نقاط شکست	Obj.۳	Obj.۲ (×۱۰ <sup>-۷</sup> )	Obj.۱ (×۱۰ <sup>-۶</sup> )	شماره جواب پارتو
[۰, ۴۰۰۰, ۷, ۷۸۷, ۱۰]	۱۰۴۲,۸۲۳۸۹	۱,۷۷۵۲۷۶	۷,۴۳۸۴۷۰	۱۳	[۰, ۳, ۸۶۷, ۶, ۰۰۰, ۱۰]	۸۹۲,۹۱۳۷۹۵	۱,۳۶۹,۰۸۸	۷,۳۵۳۶۵۱	۱
[۰, ۲, ۶۲۱, ۸, ۱۶۵, ۱۰]	۱۰۴۲,۸۲۳۸۹	۱,۷۲۲۹۱۴۶	۷,۴۵۸۹۲۱	۱۴	[۰, ۳, ۷۰۲, ۸, ۰۰۰, ۱۰]	۸۷۵,۳۴۰۶۸۷	۱,۳۲۵۲۵۹	۷,۴۸۲۸۵۷	۲
[۰, ۱, ۵۵۸, ۷, ۶۵۱, ۱۰]	۱۰۴۲,۸۲۳۸۹	۱,۶۲۳۵۰۰۸	۷,۴۹۲۰۸۳	۱۵	[۰, ۵, ۵۰۰, ۵, ۰۹۳, ۱۰]	۹۰۵,۷۶۱۷۲۶	۱,۳۹۴۳۷۴	۷,۳۵۸۴۰۱	۳
[۰, ۲, ۳۳۹, ۹, ۱۶۱, ۱۰]	۱۰۷۰,۷۳۷۸۹	۱,۸۵۵۳۳۱۳	۷,۴۵۷۳۳۱	۱۶	[۰, ۱, ۹۲۸, ۶, ۰۰۰, ۱۰]	۹۳۱,۱۶۸۲۸۸	۱,۴۶۷۰۰۴	۷,۳۷۲۳۴۱	۴
[۰, ۱, ۳۲۹, ۹, ۱۰۶, ۱۰]	۱۰۷۰,۷۳۷۸۹	۱,۸۲۲۳۳۸۴	۷,۴۷۰۹۹۲	۱۷	[۰, ۳, ۹۶۲, ۸, ۴۱۴, ۱۰]	۹۳۱,۱۶۸۲۸۸	۱,۴۱۱۶۲۶	۷,۳۸۸۵۳۵	۵
[۰, ۱, ۹۲۳, ۸, ۶۳۹, ۱۰]	۱۰۷۰,۷۳۷۸۹	۱,۷۲۲۹۱۴۶	۷,۴۹۹۲۸۴	۱۸	[۰, ۳, ۲۷۴, ۵, ۶۷۳, ۱۰]	۹۵۹,۰۸۱۸۸	۱,۵۴۶۸۶۱	۷,۳۸۸۴۶۴	۶
[۰, ۱, ۶۵۶, ۶, ۸۴۶, ۱۰]	۱۰۷۰,۷۳۷۸۹	۱,۶۲۳۵۰۰۸	۷,۵۵۹۹۲۸	۱۹	[۰, ۳, ۰۰۰, ۷, ۰۰۰, ۱۰]	۹۶۱,۳۷۱۶۵۱	۱,۴۶۸۰۴۲	۷,۴۲۱۳۳۹	۷
[۰, ۵, ۵۰۰, ۶, ۶۱۷, ۱۰]	۱۰۹۸,۶۵۱۶۹	۱,۸۱۳۹۵۸۱	۷,۵۰۷۰۴۴	۲۰	[۰, ۱, ۰۰۰, ۵, ۰۹۳, ۱۰]	۹۹۲,۶۵۸۲۵۴	۱,۶۲۱۵۲۸	۷,۴۰۶۳۱۰	۸
[۰, ۲, ۸۳۳, ۹, ۴۷۷, ۱۰]	۱۱۰۹,۵۸۷۰۵۲	۱,۷۲۲۹۱۴۶	۷,۵۵۹۰۱۵	۲۱	[۰, ۴, ۵۹۲, ۵, ۰۹۳, ۱۰]	۹۹۲,۸۹۲۷۷۷	۱,۶۲۱۲۳۸	۷,۴۱۱۹۱۶	۹
[۰, ۵, ۰۳۴, ۶, ۰۰۰, ۱۰]	۱۱۲۶,۵۶۵۸۹۰	۱,۶۹۸۶۹۶	۷,۷۸۵۵۳۴	۲۲	[۰, ۵, ۰۲۱, ۵, ۷۸۶, ۱۰]	۹۸۶,۹۹۶۰۸۸	۱,۵۰۷۳۲۶	۷,۴۴۸۱۶۰	۱۰
[۰, ۱, ۰۰۰, ۶, ۰۰۰, ۱۰]	۱۱۵۲,۴۷۹۴۹۰	۲,۳۱۹۳۹۷۵	۸,۸۱۱۴۹۰	۲۳	[۰, ۵, ۰۰۰, ۶, ۲۹۵, ۱۰]	۱۰۱۴,۹۰۹۹۸۹	۱,۶۹۵۲۷۰	۷,۴۲۰۳۲۲	۱۱
[۰, ۳, ۲۵۴, ۵, ۵۵۱, ۱۰]					[۰, ۳, ۲۵۴, ۵, ۵۵۱, ۱۰]	۱۰۱۴,۹۰۹۹۸۹	۱,۶۲۳۵۰۰	۷,۴۴۵۳۹۴	۱۲



شکل ۵. جبهه بهینه پارتو در فضای اهداف.

پویا در کنار روش محدودیت اسیلون تکامل یافته، راه‌حل‌های مؤثر بیشتری را برای تصمیم‌گیرنده فراهم می‌آورد.

## ۲.۵. نتایج حاصل از روش برنامه‌ریزی پویا

در این بخش، نتایج حاصل از روش برنامه‌ریزی پویا روی مجموعه داده‌های ترکیه و CAB به ترتیب در جدول‌های ۶ و ۷ ارائه می‌شود.

مشخصات هر نمودار از مسئله نیز در ستون اول جدول ۷ آمده است. در این نحوه‌ی نمایش نموده‌ها،  $\beta$  نشان‌دهنده پارامتر مربوط به تابع هدف تراپی - حصینی است که در هر تکرار روش برنامه‌ریزی پویا حل می‌شود.  $n$  مجموعه شامل  $|N|$  نقطه‌ی تقاضای ابتدایی و  $h$  مجموعه شامل  $|H|$  نقطه‌ی تقاضای ابتدایی است.  $p$  تعداد هاب‌ها را مشخص می‌کند و  $mp$  نشان‌دهنده تعداد دوره‌هاست. برای حل نموده‌ها، از حل‌کننده‌ی سیپلکس  $12/9/0$  در محیط نرم‌افزار گمز استفاده شده است.

تابع هدف اول برابر با مقدار بهینه‌ی است که در ستون اول قرار گرفته است. برای محاسبه‌ی ستون سوم این جدول، تابع هدف سوم مسئله به‌تنهایی بهینه می‌شود، با این محدودیت که مقدار تابع هدف اول برابر با مقدار بهینه‌ی است که در ستون اول قرار گرفته است و مقدار تابع هدف دوم برابر با مقداری است که در ستون دوم قرار گرفته است. برای محاسبه‌ی سایر سطرهای این جدول، مشابه سطر ۱ عمل می‌کنیم، با این تفاوت که در سطر دوم، بهینه‌سازی لکسیکوگرافیک را برای تابع هدف دوم و در سطر سوم، بهینه‌سازی لکسیکوگرافیک را برای تابع هدف سوم انجام می‌دهیم و مقادیر بهینه سایر اهداف را در فضای اهدافی که بهینه می‌شوند به دست می‌آوریم.

با توجه به جدول موازنه، تعارض میان اهداف کاملاً مشخص است. با توجه به جدول ۵، برای بهبود مقدار تابع هدف سوم، باید هزینه‌های مربوط به توابع هدف اول و دوم افزایش یابند. یعنی با افزایش فرصت‌های شغلی ثابت و متغیر، هزینه‌های سیستم و انتشار آلاینده‌ها افزایش می‌یابد. البته میزان افزایش در هزینه‌های سیستم بیشتر است. برای انجام مقایسه میان دو روش حل، نتایج حل مسئله‌ی نمونه به کمک روش برنامه‌ریزی پویا نیز در جدول ۶ گزارش شده است. با توجه به جدول ۶، با در نظر گرفتن مقادیر مختلف برای پارامترهای مسئله‌ی تک‌هدف در روش برنامه‌ریزی پویا، جواب‌های پارتویی مختلفی حاصل می‌شود. در مواردی که درجه ارضای توابع هدف در دو جواب پارتویی یکسان است و مقادیر نقاط شکست متفاوت است، تصمیم‌گیرنده می‌تواند جواب مورد نظرش را بر اساس نقاط شکست (زمان پیاده‌سازی تصمیمات) اتخاذ کند. جبهه پارتویی بهینه حاصل از هر دو روش در شکل ۵ نمایش داده شده است.

با توجه به شکل ۵، چون ماهیت دو روش در یافتن جواب‌های بهینه پارتویی متفاوت است، راه‌حل‌های مؤثر پیشنهادی توسط این دو روش یکسان نیست. البته تنوع جواب‌ها برای این مسئله‌ی نمونه در روش محدودیت اسیلون تکامل یافته بیشتر از روش برنامه‌ریزی پویا است، اما امکان استفاده از این روش در مسائل با اندازه‌های متوسط و بزرگ وجود ندارد. می‌توان نتیجه گرفت که در مسائلی که توسط روش محدودیت اسیلون تکامل یافته قابل حل هستند، استفاده از روش برنامه‌ریزی

جدول ۶. نتایج حل مسئله‌ی نمونه با رویکرد برنامه‌ریزی پویا (مجموعه داده ترکیه).

شماره جواب پارتو	$\Psi$	$\pi_1$	$\pi_2$	$\pi_3$	Obj.1 ( $\times 10^1$ )	Obj.2 ( $\times 10^3$ )	Obj.3	$\mu_1$	$\mu_2$	$\mu_3$	TH obj.value	نقاط شکست
۱	۰	۱/۳	۱/۳	۱/۳	۷.۵۷۸۰۳۹	۱.۶۸۹۴۱۱	۱۱۱۳.۶۱۰۴۱۸	۰.۹۳۷	۰.۶۶۵	۰.۸۵۳	۰.۸۱۸	[۰,۴۰۰۰,۹.۵۰۰,۱۰]
۲	۰	۰.۶	۰.۲	۰.۲	۷.۵۷۸۰۳۹	۱.۶۸۹۴۱۱	۱۱۱۳.۶۱۰۴۱۸	۰.۹۳۷	۰.۶۶۵	۰.۸۵۳	۰.۸۶۶	[۰,۵.۰۰۰,۹.۵۰۰,۱۰]
۳	۰	۰.۲	۰.۶	۰.۲	۷.۴۹۰۹۴۰	۱.۳۴۰۵۲۷	۸۸۹.۳۷۹۱۳۱۹	۰.۹۶۲	۰.۹۸۶	۰.۰۵۰	۰.۷۹۴	[۰,۱.۹۲۸,۶.۰۰۰,۱۰]
۴	۰	۰.۲	۰.۲	۰.۶	۷.۵۷۸۰۳۹	۱.۶۸۹۴۱۱	۱۱۱۳.۶۱۰۴۱۸	۰.۹۳۷	۰.۶۶۵	۰.۸۵۳	۰.۸۳۲	[۰,۵.۵۰۰,۶.۰۰۰,۱۰]
۵	۰.۲	۱/۳	۱/۳	۱/۳	۷.۵۷۸۰۳۹	۱.۶۸۹۴۱۱	۱۱۱۳.۶۱۰۴۱۸	۰.۹۳۷	۰.۶۶۵	۰.۸۵۳	۰.۷۸۸	[۰,۱.۰۰۰,۸.۰۰۰,۱۰]
۶	۰.۲	۰.۶	۰.۲	۰.۲	۷.۵۳۹۴۸۷	۱.۶۳۵۸۴۷	۱۰۷۴.۷۰۳۷۴۲	۰.۹۴۸	۰.۷۱۴	۰.۷۱۴	۰.۸۲۶	[۰,۱.۷۳۲,۶.۰۰۰,۱۰]
۷	۰.۲	۰.۲	۰.۶	۰.۲	۷.۶۴۵۴۰۸	۱.۶۲۲۲۲۴	۱۰۷۸.۲۰۲۷۲۲	۰.۹۱۹	۰.۷۲۶	۰.۷۲۶	۰.۷۵۷	[۰,۵.۰۰۰,۹.۳۶۱,۱۰]
۸	۰.۲	۰.۲	۰.۲	۰.۶	۷.۵۷۸۰۳۹	۱.۶۸۹۴۱۱	۱۱۱۳.۶۱۰۴۱۸	۰.۹۳۷	۰.۶۶۵	۰.۸۵۳	۰.۷۹۹	[۰,۵.۰۰۰,۹.۵۰۰,۱۰]
۹	۰.۴	۱/۳	۱/۳	۱/۳	۷.۶۵۷۳۵۱	۱.۶۴۳۳۵۲	۱۰۹۶.۰۳۷۱۱۰	۰.۹۱۵	۰.۷۰۷	۰.۷۹۰	۰.۷۶۵	[۰,۱.۰۰۰,۶.۰۰۰,۱۰]
۱۰	۰.۴	۰.۶	۰.۲	۰.۲	۷.۵۵۸۱۰۹	۱.۶۳۲۴۱۹	۱۰۷۵.۵۸۴۱۸۳	۰.۹۴۳	۰.۷۱۷	۰.۷۱۷	۰.۷۹۸	[۰,۱.۴۸۲,۷.۶۰۲,۱۰]
۱۱	۰.۴	۰.۲	۰.۶	۰.۲	۷.۶۴۵۳۸۸	۱.۶۲۲۲۲۴	۱۰۷۸.۲۰۲۷۲۲	۰.۹۱۹	۰.۷۲۶	۰.۷۲۶	۰.۷۴۹	[۰,۶.۴۵۲,۹.۳۶۱,۱۰]
۱۲	۰.۴	۰.۲	۰.۲	۰.۶	۷.۵۸۱۷۲۰	۱.۶۸۷۰۹۹	۱۱۱۲.۳۳۲۳۵	۰.۹۳۶	۰.۶۶۷	۰.۸۵۰	۰.۷۶۵	[۰,۵.۷۳۶,۶.۲۳۶,۱۰]
۱۳	۰.۵	۱/۳	۱/۳	۱/۳	۷.۶۴۵۳۸۸	۱.۶۲۲۲۲۴	۱۰۷۸.۲۰۲۷۲۲	۰.۹۱۹	۰.۷۲۶	۰.۷۲۶	۰.۷۵۸	[۰,۴.۰۰۰,۹.۳۶۱,۱۰]
۱۴	۰.۵	۰.۶	۰.۲	۰.۲	۷.۵۹۳۹۷۶	۱.۶۲۷۴۳۹	۱۰۷۶.۸۶۳۶۷۹	۰.۹۳۳	۰.۷۲۱	۰.۷۲۱	۰.۷۸۵	[۰,۱.۱۰۷,۴.۰۰۰,۱۰]
۱۵	۰.۵	۰.۲	۰.۶	۰.۲	۷.۶۴۵۳۸۸	۱.۶۲۲۲۲۴	۱۰۷۸.۲۰۲۷۲۲	۰.۹۱۹	۰.۷۲۶	۰.۷۲۶	۰.۷۴۵	[۰,۴.۰۰۰,۹.۳۶۱,۱۰]
۱۶	۰.۵	۰.۲	۰.۲	۰.۶	۷.۶۵۷۳۵۲	۱.۶۴۳۳۵۲	۱۰۹۶.۰۳۷۱۱۰	۰.۹۱۵	۰.۷۰۷	۰.۷۹۰	۰.۷۵۳	[۰,۴.۰۰۰,۶.۵۰۰,۱۰]
۱۷	۰.۶	۱/۳	۱/۳	۱/۳	۷.۶۴۵۳۸۸	۱.۶۲۲۲۲۴	۱۰۷۸.۲۰۲۷۲۲	۰.۹۱۹	۰.۷۲۶	۰.۷۲۶	۰.۷۵۲	[۰,۵.۰۰۰,۹.۳۶۱,۱۰]
۱۸	۰.۶	۰.۶	۰.۲	۰.۲	۷.۶۳۲۱۳۲	۱.۶۲۳۱۵۰	۱۰۷۷.۹۶۵۰۰۳	۰.۹۲۲	۰.۷۲۵	۰.۷۲۵	۰.۷۷۳	[۰,۰.۷۶۹,۷.۰۰۰,۱۰]
۱۹	۰.۶	۰.۲	۰.۶	۰.۲	۷.۶۴۵۳۸۸	۱.۶۲۲۲۲۴	۱۰۷۸.۲۰۲۷۲۲	۰.۹۱۹	۰.۷۲۶	۰.۷۲۶	۰.۷۴۲	[۰,۵.۰۰۰,۹.۳۶۱,۱۰]
۲۰	۰.۶	۰.۲	۰.۲	۰.۶	۷.۶۵۷۳۵۱	۱.۶۴۳۳۵۲	۱۰۹۶.۰۳۷۱۱۰	۰.۹۱۵	۰.۷۰۷	۰.۷۹۰	۰.۷۴۳	[۰,۳.۲۴۶,۷.۰۰۰,۱۰]
۲۱	۰.۸	۱/۳	۱/۳	۱/۳	۷.۶۴۵۳۸۸	۱.۶۲۲۲۲۴	۱۰۷۸.۲۰۲۷۲۲	۰.۹۱۹	۰.۷۲۶	۰.۷۲۶	۰.۷۳۹	[۰,۵.۰۰۰,۹.۳۶۱,۱۰]
۲۲	۰.۸	۰.۶	۰.۲	۰.۲	۷.۶۴۵۳۸۸	۱.۶۲۲۲۲۴	۱۰۷۸.۲۰۲۷۲۲	۰.۹۱۹	۰.۷۲۶	۰.۷۲۶	۰.۷۴۹	[۰,۶.۴۵۲,۹.۳۶۱,۱۰]
۲۳	۰.۸	۰.۲	۰.۶	۰.۲	۷.۶۴۵۳۸۸	۱.۶۲۲۲۲۴	۱۰۷۸.۲۰۲۷۲۲	۰.۹۱۹	۰.۷۲۶	۰.۷۲۶	۰.۷۳۴	[۰,۵.۰۰۰,۹.۳۶۱,۱۰]
۲۴	۰.۸	۰.۲	۰.۲	۰.۶	۷.۶۴۵۳۸۸	۱.۶۲۲۲۲۴	۱۰۷۸.۲۰۲۷۲۲	۰.۹۱۹	۰.۷۲۶	۰.۷۲۶	۰.۷۳۴	[۰,۵.۰۰۰,۹.۳۶۱,۱۰]
۲۵	۱	۱/۳	۱/۳	۱/۳	۷.۶۴۵۵۸۴	۱.۶۲۲۲۲۴	۱۰۷۸.۲۰۲۷۲۲	۰.۹۱۹	۰.۷۲۶	۰.۷۲۶	۰.۷۲۶	[۰,۲.۷۵۷,۹.۳۶۱,۱۰]
۲۶	۱	۰.۶	۰.۲	۰.۲	۷.۶۴۵۵۸۴	۱.۶۲۲۲۲۴	۱۰۷۸.۲۰۲۷۲۲	۰.۹۱۹	۰.۷۲۶	۰.۷۲۶	۰.۷۲۶	[۰,۲.۷۵۷,۹.۳۶۱,۱۰]
۲۷	۱	۰.۲	۰.۶	۰.۲	۷.۶۴۵۵۸۴	۱.۶۲۲۲۲۴	۱۰۷۸.۲۰۲۷۲۲	۰.۹۱۹	۰.۷۲۶	۰.۷۲۶	۰.۷۲۶	[۰,۲.۷۵۷,۹.۳۶۱,۱۰]
۲۸	۱	۰.۲	۰.۲	۰.۶	۷.۶۴۵۵۸۴	۱.۶۲۲۲۲۴	۱۰۷۸.۲۰۲۷۲۲	۰.۹۱۹	۰.۷۲۶	۰.۷۲۶	۰.۷۲۶	[۰,۲.۷۵۷,۹.۳۶۱,۱۰]

ترکیبات مختلف نامعادلات معتبر به کمک روش محدودیت اسپلین تکامل یافته حل می‌کنیم و زمان حل را ثبت می‌کنیم. نتایج حاصل از حل مسئله در جدول ۸ آمده است. در جدول ۸، ستون اول مشخصات مدل را نشان می‌دهد و ستون دوم، زمان حل را بر حسب ثانیه مشخص می‌کند. منظور از «مدل پایه» در این جدول، مدل ریاضی مسئله پس از خطی‌سازی است که در آن هیچ یک از نامعادلات معتبر در نظر گرفته نشده است. در هر یک از سطرهای جدول ۸، نحوه‌ی استفاده از نامعادلات معتبر مشخص شده است. به‌عنوان مثال، «مدل پایه»  $(۶۴) + (۶۵) + (۶۶)$  بدین معنی است که نامعادلات معتبر ۶۴ تا ۶۶ به

با توجه به جدول ۷، تمامی نموده‌های مسئله در زمان قابل قبولی به کمک برنامه‌ریزی پویا به جواب همیشه رسیده‌اند. اما با افزایش ابعاد مسئله، زمان حل به‌طور قابل توجهی افزایش می‌یابد. با توجه به این‌که مسئله از نوع طراحی است، زمان حل بالای برنامه‌ریزی پویا توجیه‌پذیر است.

### ۳.۵. بررسی عملکرد نامعادلات معتبر

به‌منظور بررسی تأثیر نامعادلات معتبر بر زمان حل، مسئله‌ی نمونه را به ازای

جدول ۷. نتایج حاصل از حل مسئله به روش برنامه‌ریزی پویا (مجموعه داده CAB).

شماره جواب پارتو	$\psi$	$\pi_1$	$\pi_2$	$\pi_3$	$Obj.1(\times 10^4)$	$Obj.2(\times 10^{10})$	$Obj.3$	$\mu_1$	$\mu_2$	$\mu_3$	TH obj.value	نقاط شکست
۱	۰	۱/۳	۱/۳	۱/۳	۷.۵۷۸۰۳۹	۱.۶۸۹۴۱۱	۱۱۱۳.۶۱۰۴۱۸	۰.۹۳۷	۰.۶۶۵	۰.۸۵۳	۰.۸۱۸	[۰,۴.۰۰۰,۹.۵۰۰,۱۰]
۲	۰	۰.۶	۰.۲	۰.۲	۷.۵۷۸۰۳۹	۱.۶۸۹۴۱۱	۱۱۱۳.۶۱۰۴۱۸	۰.۹۳۷	۰.۶۶۵	۰.۸۵۳	۰.۸۶۶	[۰.۵۰۰,۹.۵۰۰,۱۰]
۳	۰	۰.۲	۰.۶	۰.۲	۷.۴۹۰۹۴۰	۱.۳۴۰۵۲۷	۸۸۹.۳۷۹۱۳۱۹	۰.۹۶۲	۰.۹۸۶	۰.۰۵۰	۰.۷۹۴	[۰,۱.۹۲۸,۶.۰۰۰,۱۰]
۴	۰	۰.۲	۰.۲	۰.۶	۷.۵۷۸۰۳۹	۱.۶۸۹۴۱۱	۱۱۱۳.۶۱۰۴۱۸	۰.۹۳۷	۰.۶۶۵	۰.۸۵۳	۰.۸۳۲	[۰.۵۵۰,۶.۰۰۰,۱۰]
۵	۰.۲	۱/۳	۱/۳	۱/۳	۷.۵۷۸۰۳۹	۱.۶۸۹۴۱۱	۱۱۱۳.۶۱۰۴۱۸	۰.۹۳۷	۰.۶۶۵	۰.۸۵۳	۰.۷۸۸	[۰,۱.۰۰۰,۸.۰۰۰,۱۰]
۶	۰.۲	۰.۶	۰.۲	۰.۲	۷.۵۳۹۴۸۷	۱.۶۳۵۸۴۷	۱۰۷۴.۷۰۳۷۴۲	۰.۹۴۸	۰.۷۱۴	۰.۷۱۴	۰.۸۲۶	[۰,۱.۷۲۲,۶.۰۰۰,۱۰]
۷	۰.۲	۰.۲	۰.۶	۰.۲	۷.۶۴۵۴۰۸	۱.۶۲۲۲۲۴	۱۰۷۸.۲۰۲۷۲۲	۰.۹۱۹	۰.۷۲۶	۰.۷۲۶	۰.۷۵۷	[۰.۵۰۰,۹.۳۶۱,۱۰]
۸	۰.۲	۰.۲	۰.۲	۰.۶	۷.۵۷۸۰۳۹	۱.۶۸۹۴۱۱	۱۱۱۳.۶۱۰۴۱۸	۰.۹۳۷	۰.۶۶۵	۰.۸۵۳	۰.۷۹۹	[۰.۵۰۰,۹.۵۰۰,۱۰]
۹	۰.۴	۱/۳	۱/۳	۱/۳	۷.۶۵۷۳۵۱	۱.۶۴۳۳۵۲	۱۰۹۶.۰۳۷۱۱۰	۰.۹۱۵	۰.۷۰۷	۰.۷۹۰	۰.۷۶۵	[۰,۱.۰۰۰,۶.۰۰۰,۱۰]
۱۰	۰.۴	۰.۶	۰.۲	۰.۲	۷.۵۵۸۸۰۹	۱.۶۲۲۴۱۹	۱۰۷۵.۵۸۴۱۸۳	۰.۹۴۳	۰.۷۱۷	۰.۷۱۷	۰.۷۹۸	[۰,۱.۴۸۲,۷.۶۰۲,۱۰]
۱۱	۰.۴	۰.۲	۰.۶	۰.۲	۷.۶۴۵۳۸۸	۱.۶۲۲۲۲۴	۱۰۷۸.۲۰۲۷۲۲	۰.۹۱۹	۰.۷۲۶	۰.۷۲۶	۰.۷۴۹	[۰.۶۴۵۲,۹.۳۶۱,۱۰]
۱۲	۰.۴	۰.۲	۰.۲	۰.۶	۷.۵۸۱۷۲۰	۱.۶۸۷۰۹۹	۱۱۱۲.۷۳۳۲۲۵	۰.۹۳۶	۰.۶۶۷	۰.۸۵۰	۰.۷۶۵	[۰.۵.۷۳۶,۶.۲۳۶,۱۰]
۱۳	۰.۵	۱/۳	۱/۳	۱/۳	۷.۶۴۵۳۸۸	۱.۶۲۲۲۲۴	۱۰۷۸.۲۰۲۷۲۲	۰.۹۱۹	۰.۷۲۶	۰.۷۲۶	۰.۷۵۸	[۰,۴.۰۰۰,۹.۳۶۱,۱۰]
۱۴	۰.۵	۰.۶	۰.۲	۰.۲	۷.۵۹۳۹۷۶	۱.۶۲۷۴۳۹	۱۰۷۶.۸۶۳۷۶۹	۰.۹۳۳	۰.۷۲۱	۰.۷۲۱	۰.۷۸۵	[۰,۱.۱۰۷,۴.۰۰۰,۱۰]
۱۵	۰.۵	۰.۲	۰.۶	۰.۲	۷.۶۴۵۳۸۸	۱.۶۲۲۲۲۴	۱۰۷۸.۲۰۲۷۲۲	۰.۹۱۹	۰.۷۲۶	۰.۷۲۶	۰.۷۴۵	[۰,۴.۰۰۰,۹.۳۶۱,۱۰]
۱۶	۰.۵	۰.۲	۰.۲	۰.۶	۷.۶۵۷۳۵۲	۱.۶۴۳۳۵۲	۱۰۹۶.۰۳۷۱۱۰	۰.۹۱۵	۰.۷۰۷	۰.۷۹۰	۰.۷۵۳	[۰,۴.۰۰۰,۴.۵۰۰,۱۰]
۱۷	۰.۶	۱/۳	۱/۳	۱/۳	۷.۶۴۵۳۸۸	۱.۶۲۲۲۲۴	۱۰۷۸.۲۰۲۷۲۲	۰.۹۱۹	۰.۷۲۶	۰.۷۲۶	۰.۷۵۲	[۰.۵۰۰,۹.۳۶۱,۱۰]
۱۸	۰.۶	۰.۶	۰.۲	۰.۲	۷.۶۳۲۱۳۲	۱.۶۲۳۱۵۰	۱۰۷۷.۹۶۵۰۰۳	۰.۹۲۲	۰.۷۲۵	۰.۷۲۵	۰.۷۷۳	[۰,۰.۷۶۹,۷.۰۰۰,۱۰]
۱۹	۰.۶	۰.۲	۰.۶	۰.۲	۷.۶۴۵۳۸۸	۱.۶۲۲۲۲۴	۱۰۷۸.۲۰۲۷۲۲	۰.۹۱۹	۰.۷۲۶	۰.۷۲۶	۰.۷۴۲	[۰.۵۰۰,۹.۳۶۱,۱۰]
۲۰	۰.۶	۰.۲	۰.۲	۰.۶	۷.۶۵۷۳۵۱	۱.۶۴۳۳۵۲	۱۰۹۶.۰۳۷۱۱۰	۰.۹۱۵	۰.۷۰۷	۰.۷۹۰	۰.۷۴۳	[۰,۳.۲۴۶,۷.۰۰۰,۱۰]
۲۱	۰.۸	۱/۳	۱/۳	۱/۳	۷.۶۴۵۳۸۸	۱.۶۲۲۲۲۴	۱۰۷۸.۲۰۲۷۲۲	۰.۹۱۹	۰.۷۲۶	۰.۷۲۶	۰.۷۳۹	[۰.۵۰۰,۹.۳۶۱,۱۰]
۲۲	۰.۸	۰.۶	۰.۲	۰.۲	۷.۶۴۵۳۸۸	۱.۶۲۲۲۲۴	۱۰۷۸.۲۰۲۷۲۲	۰.۹۱۹	۰.۷۲۶	۰.۷۲۶	۰.۷۴۹	[۰.۶۴۵۲,۹.۳۶۱,۱۰]
۲۳	۰.۸	۰.۲	۰.۶	۰.۲	۷.۶۴۵۳۸۸	۱.۶۲۲۲۲۴	۱۰۷۸.۲۰۲۷۲۲	۰.۹۱۹	۰.۷۲۶	۰.۷۲۶	۰.۷۳۴	[۰.۵۰۰,۹.۳۶۱,۱۰]
۲۴	۰.۸	۰.۲	۰.۲	۰.۶	۷.۶۴۵۳۸۸	۱.۶۲۲۲۲۴	۱۰۷۸.۲۰۲۷۲۲	۰.۹۱۹	۰.۷۲۶	۰.۷۲۶	۰.۷۳۴	[۰.۵۰۰,۹.۳۶۱,۱۰]
۲۵	۱	۱/۳	۱/۳	۱/۳	۷.۶۴۵۵۸۴	۱.۶۲۲۲۲۴	۱۰۷۸.۲۰۲۷۲۲	۰.۹۱۹	۰.۷۲۶	۰.۷۲۶	۰.۷۲۶	[۰,۲.۷۵۷,۹.۳۶۱,۱۰]
۲۶	۱	۰.۶	۰.۲	۰.۲	۷.۶۴۵۵۸۴	۱.۶۲۲۲۲۴	۱۰۷۸.۲۰۲۷۲۲	۰.۹۱۹	۰.۷۲۶	۰.۷۲۶	۰.۷۲۶	[۰,۲.۷۵۷,۹.۳۶۱,۱۰]
۲۷	۱	۰.۲	۰.۶	۰.۲	۷.۶۴۵۵۸۴	۱.۶۲۲۲۲۴	۱۰۷۸.۲۰۲۷۲۲	۰.۹۱۹	۰.۷۲۶	۰.۷۲۶	۰.۷۲۶	[۰,۲.۷۵۷,۹.۳۶۱,۱۰]
۲۸	۱	۰.۲	۰.۲	۰.۶	۷.۶۴۵۵۸۴	۱.۶۲۲۲۲۴	۱۰۷۸.۲۰۲۷۲۲	۰.۹۱۹	۰.۷۲۶	۰.۷۲۶	۰.۷۲۶	[۰,۲.۷۵۷,۹.۳۶۱,۱۰]

چند دوره‌ی پایدار هاب ارائه کردیم که در آن، تقاضای حمل و نقل وابسته به زمان است و افق برنامه‌ریزی زمان‌پیوسته است. مسئله ابتدا به صورت یک مسئله‌ی برنامه‌ریزی غیرخطی عدد صحیح آمیخته چندهدفه فرموله شد و سپس، خطی‌سازی مدل انجام شد. همچنین، تعدادی نامعادل معتبر برای بهبود فرمولاسیون مسئله ارائه شد. برای اعتبارسنجی مدل، نتایج حاصل از حل مدل توسط روش محدودیت اسپیلون تکامل یافته برای یک مسئله‌ی نمونه ارائه شد. در ادامه، یک رویکرد برنامه‌ریزی پویا برای حل مسئله پیشنهاد شد و نتایج حاصل از آن مورد بررسی قرار گرفت. نتایج نشان می‌دهد که رویکرد برنامه‌ریزی پویا، قادر است مسائل را

مدل پایه مسئله افزوده شده است. با توجه به جدول ۸، کمترین زمان حل مربوط به «مدل پایه + (۶۵) + (۶۶)» است که برابر با ۴۸۸/۹۶ ثانیه است. بنابراین، به نظر می‌رسد که استفاده از نامعادلات معتبر ۶۵ و ۶۶ در مدل پایه، بیشترین کاهش را در زمان حل ایجاد می‌کند.

## ۶. نتیجه‌گیری

در این پژوهش، ما یک مدل برنامه‌ریزی ریاضی را برای مسئله‌ی مکان‌یابی

جدول ۸. بررسی عملکرد نامعادلات معتبر (مسئله‌ی نمونه، مجموعه داده‌ی ترکیه).

زمان حل (ثانیه)	مشخصات مدل
۵۲۷٫۲۵	مدل پایه
۵۱۱٫۴۲	مدل پایه + (۶۴)
۵۲۸٫۹۱	مدل پایه + (۶۴) + (۶۵)
۵۱۶٫۴۴	مدل پایه + (۶۴) + (۶۵) + (۶۶)
۵۷۳٫۰۳	مدل پایه + (۶۴) + (۶۵) + (۶۶) + (۶۸)
۴۹۱٫۶۷	مدل پایه + (۶۵)
۴۸۸٫۹۶	مدل پایه + (۶۵) + (۶۶)
۵۰۸٫۴۳	مدل پایه + (۶۵) + (۶۶) + (۶۸)
۵۴۰٫۷۰	مدل پایه + (۶۶)
۵۲۳٫۱۶	مدل پایه + (۶۶) + (۶۸)
۵۶۲٫۰۱	مدل پایه + (۶۸)
۵۲۳٫۱۱	مدل پایه + (۶۴) + (۶۶)
۵۷۵٫۷۹	مدل پایه + (۶۴) + (۶۸)
۵۴۱٫۶۷	مدل پایه + (۶۵) + (۶۸)
۵۱۶٫۷۳	مدل پایه + (۶۴) + (۶۵) + (۶۸)
۶۰۱٫۰۰	مدل پایه + (۶۴) + (۶۶) + (۶۸)

تا ۲۵ گره و ۶ دوره زمانی حل کند. برای پیشنهاد‌های آتی موارد در پی آمده قابل ذکر است: مطالعه‌ی دقیق‌تر فضای حل مسئله و ارائه فرمول‌بندی جایگزین و فشرده‌تر برای مسئله‌ی اولیه، توسعه‌ی روش‌هایی برای کاهش زمان حل مسئله‌ی تک‌هدفه که در هر تکرار روش برنامه‌ریزی پویا حل می‌شود (توسعه‌ی روش‌های ابتکاری مانند الگوریتم افق غلطان برای تولید جواب اولیه مسئله‌ی تک‌هدفه و سپس حل آن به کمک روش‌های دقیق کارا)، در نظر گرفتن عدم قطعیت برای پارامترهای مسئله نظیر تقاضای وابسته به زمان برای نزدیک‌تر شدن به شرایط دنیای واقعی، استفاده از سایر مجموعه داده‌های توسعه داده شده برای مسئله‌ی مکان‌یابی هاب مانند مجموعه داده شبکه‌ی پستی استرالیا (AP) برای حل مسائل با ابعاد بیشتر (در این صورت، با توجه به پیچیدگی بالای مسئله، باید روش‌های ابتکاری یا فرایند‌یابی برای حل مسئله‌ی توسعه داده شود که الزاماً بهینه‌نگی را تضمین نمی‌کنند). همچنین، به کار بردن مسئله در مواردی مانند لجستیک و زنجیره‌ی تأمین و شبکه‌های هاب سلسله مراتبی یا چندمندی می‌تواند مدنظر محققان قرار گیرد. در مورد مجموعه داده‌های داخل کشور که برای مسئله‌ی مکان‌یابی هاب توسعه داده شده است، می‌توان به مجموعه داده‌ی IAD (داده‌های هوایی ایران) اشاره کرد.<sup>[۲۶]</sup>

یکی از مواردی که در تحقیقات آتی می‌توان به آن پرداخت، توسعه‌ی مجموعه داده‌های داخلی برای مسئله‌ی مکان‌یابی هاب در حالت چند دوره‌یابی و با در نظر گرفتن تقاضای وابسته به زمان است. برای برآورد تقاضا می‌توان از سالنامه‌های آماری شرکت‌ها یا نهادها استفاده کرد.

## منابع (References)

- Campbell, J.F. and O'Kelly, M.E. "Twenty-five years of hub location research", *Transp. Sci.*, **46**(2), pp. 153-169 (2012).
- Farahani, R.Z., Hekmatfar, M., Arabani, A.B. and et al. "Hub location problems: a review of models, classification, solution techniques, and applications", *Comput. Ind. Eng.*, **64**(4), pp. 1096-1109 (2013).
- Nickel, S., and Saldanha-da-Gama, F. "Multi-period facility location", In *Location Science*, Springer, pp. 303-326 (2019).
- Holden, E., Linnerud, K. and Banister, D. "Sustainable development: our common future revisited", *Glob. Environ. Chang.*, **26**, pp. 130-139 (2014).
- Campbell, J.F. "Locating transportation terminals to serve an expanding demand", *Transp. Res. Part B Methodol.*, **24**(3), pp. 173-192 (1990).
- Contreras, I., Cordeau, J.-F. and Laporte, G. "The dynamic uncapacitated hub location problem", *Transp. Sci.*, **45**(1), pp. 18-32 (2011).
- Taghipourian, F., Mahdavi, I., Mahdavi-Amiri, N. and et al. "A fuzzy programming approach for dynamic virtual hub location problem", *Appl. Math. Model.*, **36**(7), pp. 3257-3270 (2012).
- Gelareh, S., Monemi, R.N. and Nickel, S. "Multi-period hub location problems in transportation", *Transp. Res. Part E Logist. Transp. Rev.*, **75**, pp. 67-94 (2015).
- Alumur, S.A., Nickel, S., Saldanha-da-Gama, F. and et al. "Multi-period hub network design problems with modular capacities", *Ann. Oper. Res.*, **246**(1-2), pp. 289-312 (2016).
- Ebrahimi-Zade, A., Hosseini-Nasab, H. and Zahmatkesh, A. "Multi-period hub set covering problems with flexible radius: a modified genetic solution", *Appl. Math. Model.*, **40**(4), pp. 2968-2982 (2016).
- Bashiri, M., Rezanezhad, M., Tavakkoli-Moghaddam, R. and et al. "Mathematical modeling for a p-mobile hub location problem in a dynamic environment by a genetic algorithm", *Appl. Math. Model.*, **54**, pp. 151-169 (2018).
- Fotuhi, F. and Huynh, N. "A reliable multi-period intermodal freight network expansion problem", *Comput. Ind. Eng.*, **115**, pp. 138-150 (2018).
- Correia, I., Nickel, S. and Saldanha-da-Gama, F. "A stochastic multi-period capacitated multiple allocation hub location problem: Formulation and inequalities", *Omega*, **74**, pp. 122-134 (2018).
- Torkestani, S.S., Seyedhosseini, S.M., Makui, A. and et al. "The reliable design of a hierarchical multi-Modes transportation Hub location problems (HMMTHLP) under dynamic network disruption (DND)", *Comput. Ind. Eng.*, **122**, pp. 39-86 (2018).
- Khosravian, Y., Shahandeh Nookabadi, A. and Moslehi, G. "Mathematical model for bi-objective maximal hub covering problem with periodic variations of parameters", *Int. J. Eng.*, **32**(7), pp. 964-975 (2019).
- Bagherinejad, J.E.S., Bashiri, M. and Abedpour, Z. "Dynamic single allocation hub location problem considering

- life cycle and reconstruction hubs”, *Prod. Oper. Manag.*, **11**(1), pp. 71-87 (2020).
17. Fattahi, P. and Shakeri Kebria, Z. “A bi objective dynamic reliable hub location problem with congestion effects”, *Int. J. Ind. Eng. Prod. Res.*, **31**(1), pp. 63-74 (2020).
  18. Mohammadi, M., Tavakkoli-Moghaddam, R. and Rostami, R. “A multi-objective imperialist competitive algorithm for a capacitated hub covering location problem”, *Int. J. Ind. Eng. Comput.*, **2**(3), pp. 671-688 (2011).
  19. Ghodrtnama, A., Tavakkoli-Moghaddam, R. and Azaron, A. “A fuzzy possibilistic bi-objective hub covering problem considering production facilities, time horizons and transporter vehicles”, *Int. J. Adv. Manuf. Technol.*, **66**(1-4), pp. 187-206 (2013).
  20. Razmi, J. and Tavakkoli-Moghaddam, R. “Multi-objective invasive weed optimization for stochastic green hub location routing problem with simultaneous pickups and deliveries”, *Computation and Economic Cybernetics studies and Research*, **47**(3), pp.247-266 (2013).
  21. Mohammadi, M., Jolai, F. and Tavakkoli-Moghaddam, R. “Solving a new stochastic multi-mode p-hub covering location problem considering risk by a novel multi-objective algorithm”, *Appl. Math. Model.*, **37**(24), pp. 10053-10073 (2013).
  22. Sedehzadeh, S., Tavakkoli-Moghaddam, R., Mohammadi, M. and et al. “Solving a new priority M M C queue model for a multi-mode hub covering location problem by multi-objective parallel simulated annealing”, *Econ. Comput. Econ. Cybern. Stud. Res.*, **48**(4), pp. 299-318 (2014).
  23. Mohammadi, M., Torabi, S.A. and Tavakkoli-Moghaddam, R. “Sustainable hub location under mixed uncertainty”, *Transp. Res. Part E Logist. Transp. Rev.*, **62**, pp. 89-115 (2014).
  24. Niakan, F., Vahdani, B. and Mohammadi, M. “A multi-objective optimization model for hub network design under uncertainty: An inexact rough-interval fuzzy approach”, *Eng. Optim.*, **47**(12), pp. 1670-1688 (2015).
  25. Zhalechian, M., Tavakkoli-Moghaddam, R., Rahimi, Y. and et al. “An interactive possibilistic programming approach for omic and environmental a multi-objective hub location problem: econ design”, *Appl. Soft Comput.*, **52**, pp. 699-713 (2017).
  26. Zhalechian, M., Tavakkoli-Moghaddam, R. and Rahimi, Y. “A self-adaptive evolutionary algorithm for a fuzzy multi-objective hub location problem: an integration of responsiveness and social responsibility”, *Eng. Appl. Artif. Intell.*, **62**, pp. 1-16 (2017).
  27. Dukkanci, O., Peker, M. and Kara, B.Y. “Green hub location problem”, *Transp. Res. Part E Logist. Transp. Rev.*, **125**, pp. 116-139 (2019).
  28. Drezner, Z. and Wesolowsky, G.O. “Facility location when demand is time dependent”, *Nav. Res. Logist.*, **38**(5), pp. 763-777 (1991).
  29. Farahani, R.Z., Drezner, Z. and Asgari, N. “Single facility location and relocation problem with time dependent weights and discrete planning horizon”, *Ann. Oper. Res.*, **167**(1), pp. 353-368 (2009).
  30. Barth, M., Younglove, T. and Scora, G. “Development of a heavy-duty diesel modal emissions and fuel consumption model”, *UC Berkeley: California Partners for Advanced Transportation Technology*, Retrieved from <https://escholarship.org/uc/item/67f0v3zf> (2005).
  31. Barth, M. and Boriboonsomsin, K. “Energy and emissions impacts of a freeway-based dynamic eco-driving system”, *Transp. Res. Part D Transp. Environ.*, **14**(6), pp. 400-410 (2009).
  32. Mavrotas, G. and Florios, K. “An improved version of the augmented  $\epsilon$ -constraint method (AUGMECON2) for finding the exact pareto set in multi-objective integer programming problems”, *Appl. Math. Comput.*, **219**(18), pp. 9652-9669 (2013).
  33. Torabi, S.A. and Hassini, E. “An interactive possibilistic programming approach for multiple objective supply chain master planning”, *Fuzzy sets Syst.*, **159**(2), pp. 193-214 (2008).
  34. Beasley, J.E. “OR-library:hub location”, URL <http://people.brunel.ac.uk/mastjjb/jeb/orlib/phubinfo.html> (accessed 01.05.15) (1990).
  35. Alumur, S.A., Yaman, H. and Kara, B.Y. “Hierarchical multimodal hub location problem with time-definite deliveries”, *Transp. Res. Part E Logist. Transp. Rev.*, **48**(6), pp. 1107-1120 (2012).
  36. Karimi, H. and Bashiri, M. “Hub covering location problems with different coverage types”, *Sci. Iran.* **18**(6), pp. 1571-1578 (2011).